

SKRIPSI

**PENGARUH TINGGI GELOMBANG DAN TEKANAN TERHADAP DEBIT PADA
POMPA GELOMBANG TIPE PELAMPUNG**



FAKULTAS TEKNIK

UNIVERSITAS MUHAMMADIYAH MAKASSAR

2021

**PENGARUH TINGGI GELOMBANG DAN TEKANAN TERHADAP DEBIT PADA
POMPA GELOMBANG TIPE PELAMPUNG**

Diajukan Untuk Memenuhi Salah Satu Syarat Guna Memperoleh Gelar Sarjana
Teknik Pengairan Fakultas Teknik Universitas Muhammadiyah Makassar



UNIVERSITAS MUHAMMADIYAH MAKASSAR

2021

FAKULTAS TEKNIK

GEDUNG MENARA IQRA LT. 3

Jl. Sultan Alauddin No. 259 Telp. (0411) 866 972 Fax (0411) 865 588 Makassar 90221

Website : www.unismuh.ac.id, e-mail : unismuh@gmail.com

Website : <http://teknik.unismuh.makassar.ac.id>

بِسْمِ اللَّهِ الرَّحْمَنِ الرَّحِيمِ

HALAMAN PERSETUJUAN

Tugas Akhir ini diajukan untuk memenuhi syarat ujian guna memperoleh gelar Sarjana Teknik (ST) Program Studi Teknik Pengairan Jurusan Teknik Sipil Fakultas Teknik Universitas Muhammadiyah Makassar.

Judul Skripsi : **PENGARUH TINGGI GELOMBANG DAN TEKANAN TERHADAP DEBIT PADA POMPA GELOMBANG TIPE PELAMPUNG**

Nama : ZULMI RIANI

Stambuk : ANDI CANDINI

Stambuk : 105 81 11022 16
105 81 11031 16

8 Rajab 1442 H
27 Februari 2021 M

Dr. Ir. Nenny T Karim, ST., MT., IPM

Ir. Hamzah Al Imran, ST., MT., IPM

Mengetahui,

Ketua Prodi Teknik Pengairan



Andi Makbul Syamsuri, ST.,MT., IPM

NBM : 1183 084



FAKULTAS TEKNIK

GEDUNG MENARA IQRA LT. 3

Jl. Sultan Alauddin No. 259 Telp. (0411) 866 972 Fax (0411) 865 588 Makassar 90221
 Website : www.unismuh.ac.id, e-mail : unismuh@gmail.com
 Website : <http://teknik.unismuh.makassar.ac.id>

بِسْمِ اللَّهِ الرَّحْمَنِ الرَّحِيمِ

PENGESAHAN

Skripsi atas nama **Zulmi Riani** dengan nomor induk Mahasiswa 105 81 11022 16 dan **Andi Candini** dengan nomor induk Mahasiswa 105 81 11031 16, dinyatakan diterima dan disahkan oleh Panitia Ujian Tugas Akhir/Skripsi sesuai dengan Surat Keputusan Dekan Fakultas Teknik Universitas Muhammadiyah Makassar Nomor : 0003/SK-Y/22201/091004/2021, sebagai salah satu syarat guna memperoleh gelar Sarjana Teknik pada Program Studi Teknik Pengairan Jurusan Teknik Sipil Fakultas Teknik Universitas Muhammadiyah Makassar pada hari Sabtu tanggal 20 Februari 2021.

Makassar,

8 Rajab 1442 H
 27 Februari 2021 M

Panitia Ujian:

1. Pengawas Umum

a. Rektor Universitas Muhammadiyah Makassar

Prof. Dr. H. Ambo Assé, M.AG

b. Dekan Fakultas Teknik Universitas Hasanuddin

Prof. Dr. Ir. H. Muhammad Arsyad Thaha, MT

2. Pengaji:

a. Ketua : Dr. Ir. H. Riswali K, MT

b. Sekertaris : Kasmawati, ST., MT

3. Anggota: 1. Dr. Ir. Muh. Yunus Ali, ST., MT., IPM

2. Andi Makbul Syamsuri, ST., MT., IPM

3. Ir. Andi Rahmat, MT

Mengetahui:

Pembimbing I

Pembimbing II

Dr. Ir. Nenny T Karim ST., MT., IPM

Ir. Hamzah Al Imran, ST., MT., IPM



Ir. Hamzah Al Imran, ST., MT., IPM

NBM : 855 500

KATA PENGANTAR

Alhamdulillah Rabbil Alamin, segala puji bagi ALLAH SWT karena berkat limpahan rahmat, taufik serta hidayah-Nya sehingga penulis dapat menyelesaikan skripsi yang berjudul **“Pengaruh Tinggi Gelombang Dan Tekanan Terhadap Debit Pada Pompa Gelombang Tipe Pelampung”** sebagai salah satu syarat untuk memperoleh gelar sarjana di Jurusan Teknik Sipil Fakultas Teknik Universitas Muhammadiyah Makassar. Salam dan shalawat senantiasa tercurah kepada junjungan Nabi Besar Muhammad SAW sebagai suri tauladan untuk seluruh umat manusia.

Penulis menyadari sepenuhnya bahwa selesainya skripsi ini adalah berkat bantuan dari berbagai pihak. Oleh karena itu dalam kesempatan ini, penulis menyampaikan terima kasih serta penghargaan yang setinggi - tingginya kepada :

1. Bapak Ir. Hamzah Al Imran, ST., MT., IPM selaku Dekan Fakultas Teknik Universitas Muhammadiyah Makassar.
2. Bapak Andi Makbul Syamsuri, ST., MT., IPM selaku Ketua Prodi Teknik Pengairan Fakultas Teknik Universitas Muhammadiyah Makassar.
3. Bapak Muh Amir Zainuddin, ST., MT., IPM selaku Sekretaris Prodi Tenik Pengairan Fakultas Teknik Universitas Muhammadiyah Makassar
4. Ibu Dr. Ir. Nenny T Karim, ST., MT., IPM selaku Dosen Pembimbing Satu (1)
5. Bapak Ir. Hamzah Al Imran, ST., MT.,IPM selaku Dosen Pembimbing Dua (2)

6. Kedua Orang Tua kami yang selalu memberi dukungan secara moral maupun material dan doa kepada kami.

Serta semua pihak yang telah membantu kami. Selaku manusia biasa tentunya kami tak luput dari kesalahan. Oleh karena itu, saran dan kritik yang kontruktif sangat diharapkan demi penyempurnaan skripsi ini.



PENGARUH TINGGI GELOMBANG DAN TEKANAN TERHADAP DEBIT PADA POMPA GELOMBANG TIPE PELAMPUNG

Andi Candini¹, Zulmiriani²

¹Jurusan Sipil Pengairan, Fakultas Teknik, Universitas Muhammadiyah Makassar

²Jurusan Sipil Pengairan, Fakultas Teknik, Universitas Muhammadiyah Makassar

Email : andicandini90@gmail.com \ zulmiriani97@gmail.com

ABSTRAK

Gelombang laut merupakan salah satu sumber energi baru dan terbarukan yang bernilai ekonomis, serta ramah lingkungan karena tidak menghasilkan polusi dan mudah ditemukan di daerah pesisir pantai. Penelitian ini bertujuan untuk mengetahui pengaruh tinggi gelombang dan tekanan terhadap debit pada pompa gelombang tipe pelampung. pemanfaatan gelombang laut untuk dikonversikan menjadi energi yang bermanfaat bagi manusia terus diteliti oleh peneliti luar negeri maupun peneliti dalam negeri. energi potensial dan kinetik yang terkandung pada gelombang laut dapat dikonversikan untuk pemanfaatan tenaga listrik maupun pompa air bersih dan irigasi. Penelitian ini di lakukan di Laboratorium Hidraulika Teknik Sipil Fakultas Teknik Universitas Hasanuddin. Metode yang digunakan berbasis eksperimental. Karakteristik gelombang yang di hasilkan terdiri dari tiga variasi periode dan tiga variasi kedalaman air serta tiga variasi stroke. Pembacaan puncak dan lembah gelombang dilakukan secara otomatis melalui wave monitor. Hasil penelitian menunjukkan bahwa Tinggi gelombang dan tekanan cukup berpengaruh pada pompa gelombang dimana semakin tinggi sebuah gelombang maka tekanan yang bekerja pada pompa pun semakin besar. dengan itu Perlu diciptakan suatu perencanaan desain alat pemompa gelombang yang tepat guna mendapatkan manfaat lebih dari energi gelombang laut.

Kata kunci: gelombang, pompa, pelampung

ABSTRACT

Ocean waves are a new and renewable energy source that is economically valuable and environmentally friendly because it does not produce pollution and is easily found in coastal areas. This study aims to determine the effect of wave height and pressure on the discharge of the float type wave pump. The use of sea waves to be converted into useful energy for humans continues to be studied by foreign researchers and domestic researchers. Potential and kinetic energy contained in ocean waves can be converted to use electricity as well as clean water and irrigation pumps. This research was conducted at the Laboratory of Civil Engineering Hydraulics, Faculty of Engineering, Hasanuddin University. The method used is experimental based. The resulting wave characteristics consist of three variations of the period and three variations of water depth and three variations of the stroke. The reading of the peaks and troughs of the waves is carried out automatically via the wave monitor. The results showed that the wave height and pressure were quite influential on the wave pump where the higher the wave, the greater the pressure acting on the pump. Therefore, it is necessary to create an appropriate wave pump design plan in order to get more benefits from ocean wave energy.

Keywords: wave,pump,buoy

DAFTAR ISI

Halaman

HALAMAN JUDUL	i
HALAMAN PENGESAHAN	ii
PENGESAHAN	iii
KATA PENGANTAR	iv
ABSTRAK	vi
DAFTAR ISI	vii
DAFTAR PERSAMAAN	x
DAFTAR GAMBAR	xii
DAFTAR TABEL	xiii
DAFTAR NOTASI DAN SINGKATAN	xiv
BAB I PENDAHULUAN	
A. Latar Belakang	1
B. Rumusan Masalah	3
C. Tujuan Penelitian	3
D. Manfaat Penelitian	3
E. Batasan Masalah	4
F. Sistematika Penulisan	4
BAB II TINJAUAN PUSTAKA	
A. Definisi Gelombang	6
B. Karakteristik Gelombang	10

C. Energi Gelombang Laut.....	12
D. Klasifikasi Teori Gelombang.....	18
E. Hukum Dasar Model	19
F. Pipa Terhadap Pompa.....	24
G. Hipotesis.....	28
H. Matriks Penelitian Yang Relevan.....	30

BAB III METODE PENELITIAN

A. Tempat Dan Waktu Penelitian	36
B. Jenis Penelitian Dan Sumber Data.....	36
C. Alat Dan Bahan.....	36
D. Variabel Penelitian.....	40
E. Pelaksanaan Studi Model	41
F. Parameter Model	42
G. Pelaksanaan Simulasi.....	44
H. diagram proses penelitian.....	46
I. Flowchart Prosedur Penelitian.....	47

BAB IV HASIL DAN PEMBAHASAN

A. Hasil Penelitian.....	47
1. Hasil Analisis.....	47
2. Panjang Gelombang.....	47
3. Data Tinggi Gelombang.....	49
4. Daya Gelombang	51

5. Daya Air Hasil Pemompaan.....	51
6. Efisiensi Pompa Gelombang.....	52
7. Daya Pompa.....	53
8. Kecepatan Aliran.....	53
9. Tinggi Tekanan Pompa.....	54
10. Pengambilan Debit	58
 B. Pembahasan.....	61
1. Hubungan Tinggi Gelombang Dan Tinggi Tekanan Terhadap Pompa Gelombang Tipe Pelampung.....	61
2. Pengaruh Tinggi Gelombang Terhadap Debit Yang Dihasilkan.....	64
 BAB V Kesimpulan Dan Saran.....	
11. Kesimpulan.....	68
12. Saran.....	68
 DAFTAR PUSTAKA.....	69
LAMPIRAN.....	71
DOKUMENTASI.....	

Daftar Persamaan

Persamaan 1 Panjang Gelombang (L).....	14
Persamaan 2 Panjang Gelombang Awal (L_0).....	14
Persamaan 3 cepat rambat gelombang.....	14
Persamaan 4 daya gelombang.....	16
Persamaan 5 Daya Air Hasil Pemompaan.....	16
Persamaan 6 efisiensi pompa.....	17
Persamaan 7 skala panjang.....	20
Persamaan 8 skala tinggi.....	20
Persamaan 9 Skala kecepatan.....	21
Persamaan 10 skala percepatan.....	21
Persamaan 11 skala debit.....	21
Persamaan 12 skala waktu.....	22
Persamaan 13 kesebangunan froude.....	23
Persamaan 14 skala gelombang.....	23
Persamaan 15 Skala panjang struktur.....	23
Persamaan 16 panjang gelombang.....	23
Persamaan 17 Skala waktu.....	23
Persamaan 18 Skala gravitasi.....	23
Persamaan 19 daya pompa.....	25
Persamaan 20 daya pompa	25
Persamaan 21 kecepatan aliran	26
Persamaan 22 tekanan hidrostatis	27

Persamaan 23 tekanan akibat gaya	28
Persamaan 24 tekanan akibat gaya	28
Persamaan 25 tekanan akibat gaya	28
Persamaan 26 tekanan akibat gaya	28



Daftar Gambar

Gambar 1	Parameter Gelombang.....	7
Gambar 2	karakteristik gelombang.....	12
Gambar 3	Tangki pembangkit gelombang (Wave Flume)	37
Gambar 4	Unit pembangkit gelombang tipe flap.....	38
Gambar 5	Wave monitor dan probe.....	38
Gambar 6	Tampak atas penempatan model pompa gelombang dalam Saluran	42
Gambar 7	Tampak samping model pompa gelombang dalam saluran.....	42
Gambar 8	Model pompa gelombang tipe pelampung.....	42
Gambar 9	Sketsa mekanisme kerja pompa gelombang	44
Gambar 10	Flow Chart Prosedur Percobaan Penelitian.....	46
Gambar 11	Pengaruh tinggi gelombang terhadap debit yang dihasilkan	46
Gambar 12	Pengaruh tekanan terhadap debit yang dihasilkan	46
Gambar 13	Pengaruh tinggi gelombang terhadap tekanan	46

Daftar Tabel

Tabel 1 Batasan gelombang air dangkal, air transisi dan air dalam.....	18
Tabel 2 Matrik penelitian yang relevan	30
Tabel 3 skala model	41
Tabel 4 Variasi model pompa gelombang tipe pelampung	43
Tabel 5 Data hasil pengamatan tinggi gelombang pada pompa gelombang tipe pelampung.....	
Tabel 6 Data analisis daya gelombang, daya air hasil pompa, dan efisiensi pompa dan daya pompa.....	58
Tabel 7 Data hasil pengambilan debit.....	60
Tabel 8 Data pengaruh tinggi gelombang terhadap debit yang dihasilkan.....	62
Tabel 9 Data pengaruh tekanan terhadap jumlah debit yang dihasilkan.....	63
Tabel 10 Data pengaruh tinggi gelombang terhadap tekanan.....	64

DAFTAR NOTASI DAN SINGKATAN

A	=	Luas Penampang Reservoir
C	=	Kecepatan Rambat Gelombang
D	=	Kedalaman Air
M	=	Model Struktur
G	=	Percepatan Gravitasi Bumi
H/H	=	Tinggi Gelombang
H _i	=	Tinggi Gelombang Datang
H _{max}	=	Tinggi Gelombang Maximum
H _{min}	=	Tinggi Gelombang Minimum
H _s	=	Tinggi Gelombang Berdiri
H _p	=	Tinggi Gelombang Parsial
H _r	=	Tinggi Gelombang Refleksi
K	=	Bilangan Gelombang
L	=	Panjang Gelombang
E _p	=	Energi Potensial Gelombang
E _k	=	Energi Kinetik Gelombang
E _t	=	Energi Total Per Satuan Panjang Gelombang
E	=	Energi Rata-Rata Gelombang Per Satuan Luas
P	=	Daya Gelombang
P̄	=	Transfer Energi Gelombang Rata-Rata
P̄	=	Rapat Massa Air
T̄	=	Waktu Penangkapan Gelombang
T	=	Periode Gelombang

X	=	Arah Penjalaran Gelombang
Q	=	Debit
L_0	=	Panjang Gelombang Awal
D	=	Kedalaman Air
D/L	=	Kedalaman Relatif
A	=	Amplitudo Gelombang
$H/2$	=	Setengah Tinggi Gelombang
F	=	Frekuensi
Gt^2	=	Jarak Antara Dua Lembah Gelombang
L/T	=	Perbandingan Panjang Gelombang Dan Periode Gelombang
D	=	Diameter
π	=	Φ (3,14)
H	=	Tinggi Tekanan
Dw	=	Daya gelombang
D_p	=	Daya Air Hasil Pemompaan
η_T	=	Efisiensi Pompa
n_L	=	skala panjang
n_h	=	skala tinggi
L_p	=	ukuran panjang prototipe
D_p	=	Daya Pompa
V	=	kecepatan
p	=	Tekanan

BAB I

PENDAHULUAN

A. Latar Belakang

Gelombang laut menyimpan energi yang sangat besar dan belum termanfaatkan secara maksimal. pemanfaatan gelombang laut untuk dikonversikan menjadi energi yang bermanfaat bagi manusia terus diteliti oleh peneliti luar negeri maupun peneliti dalam negeri. energi potensial dan kinetik yang terkandung pada gelombang laut dapat dikonversikan untuk pemanfaatan tenaga listrik maupun pompa air bersih dan irigasi.

Energi dari gelombang laut merupakan energi yang timbul dari gerakan gelombang air laut yang menuju ke daratan. gelombang laut terjadi akibat dorongan gerak angin. angin timbul karena perbedaan tekanan pada 2 titik yang disebabkan oleh pemanasan udara, oleh matahari yang berbeda di kedua titik. gelombang laut menghasilkan ketinggian yang tidak menentu atau berbeda-beda jika di hitung dari data jumlah gelombang laut yang di amati pada sebuah selang tertentu.

Gelombang laut merupakan salah satu sumber energi baru dan terbarukan yang bernilai ekonomis serta ramah lingkungan karena tidak menghasilkan polusi dan mudah ditemukan di daerah pesisir pantai. ada beberapa pilihan untuk menghasilkan tenaga lain dari gelombang laut, pertama menggunakan teknik batang magnet yang bergerak naik turun, pilihan kedua dengan menggunakan pelampung. gelombang laut yang dominan adalah yang terjadi karena tiupan angin, gerakan naik turunnya air laut di laut lepas dan gerakan air laut memukul

kepantai dapat dikonversikan menjadi bentuk energi lain, secara gerakan air laut yang naik turun itu dipakai untuk menggerakkan suatu tuas naik turun, atau untuk menggerakkan suatu pompa, atau untuk menekan kolom udara untuk menggerakkan baling-baling. prinsipnya adalah mengkonversi gerak mekanik menjadi energi lain. gelombang yang merambat akan bergerak dengan kecepatan yang berbeda-beda pada tiap titik muka gelombang, karena pengaruh kedalaman perairan.

Tinjauan dari energi gelombang dalam struktur gelombang laut adalah penting. energi gelombang laut merupakan parameter untuk mengukur seberapa besar manfaat yg di dapatkan dari kemampuan tinggi energi gelombang laut. Perlu diciptakan suatu perencanaan desain alat pemompa gelombang yang tepat guna mendapatkan manfaat lebih dari energi gelombang laut. Untuk itu, diperlukan kajian untuk menganalisis secara finansial terhadap besarnya energi yang dihasilkan gelombang laut dengan penggunaan alat pemompa gelombang.

Dengan melihat latar belakang masalah diatas, maka penulis tertarik untuk mengadakan penelitian tentang model pompa gelombang tipe pelampung untuk pemanfaatan energi gelombang laut serta membuat penulisan tugas akhir yang berjudul:

“Pengaruh Tinggi Gelombang dan Tekan Terhadap Debit Pada Pompa Gelombang Tipe Pelampung”

B. Rumusan Masalah

Berdasarkan latar belakang yang telah diuraikan, maka rumusan masalahnya adalah:

1. Bagaimana pengaruh tinggi gelombang dan tekanan terhadap debit pada pompa gelombang tipe pelampung?
2. Berapa besar debit yang dihasilkan pada pompa gelombang tipe pelampung?

C. Tujuan Penelitian

Berdasarkan rumusan masalah sebagaimana yang diuraikan diatas, maka tujuan dari penelitian ini adalah:

1. Untuk mengetahui pengaruh tinggi gelombang dan tekanan terhadap debit pada pompa gelombang tipe pelampung.
2. Untuk mengetahui besar debit yang dihasilkan pada pompa gelombang tipe pelampung.

D. Manfaat Penelitian

Adapun manfaat dari penelitian ini adalah:

1. Mendapatkan model dan dimensinya dengan pemanfaatan energi gelombang sebagai salah satu energi alternatif terbarukan dalam skala laboratorium.
2. Sebagai acuan untuk penelitian lebih lanjut dalam skala yang sebenarnya.

E. Batasan Masalah

Dalam penelitian ini, perlu ditetapkan batasan masalah sehubungan dengan keterbatasan dan kemampuan peneliti. batasan masalah pada penelitian ini adalah:

1. Arah datang gelombang tegak lurus terhadap struktur.

2. Gelombang yang dibangkitkan adalah gelombang dengan kondisi belum pecah.
3. Fluida yang digunakan adalah air tawar, salinitas dan pengaruh mineral air tidak diperhitungkan.
4. Arah datang gelombang tegak lurus terhadap struktur.
5. Jenis model yang digunakan adalah tabung acrylic transparan yang dirakit dilengkapi pelampung dan piston, dengan jumlah lubang inlet dan outlet yang bervariasi.

F. Sistematika Penulisan

Laporan ini terdiri dari tiga bab, dimana sistematika penyusunannya adalah sebagai berikut:

BAB I Pendahuluan, merupakan bab pendahuluan yang menguraikan tentang latar belakang, rumusan masalah, tujuan penelitian, manfaat penelitian, batasan masalah, dan sistematika penulisan.

BAB II Kajian Pustaka, merupakan kajian pustaka yang memuat tentang kerangka dasar yang komprehensif mengenai konsep atau teori yang akan digunakan untuk perbaikan masalah mengenai alat pompa gelombang tipe pelampung.

BAB III Metode penelitian, berisi tentang penjelasan tempat dan waktu penelitian, jenis penelitian dan sumber data, alat dan bahan, desain penelitian, metode pengambilan data, metode analisis data, variabel penelitian, prosedur penelitian, dan flow chart.

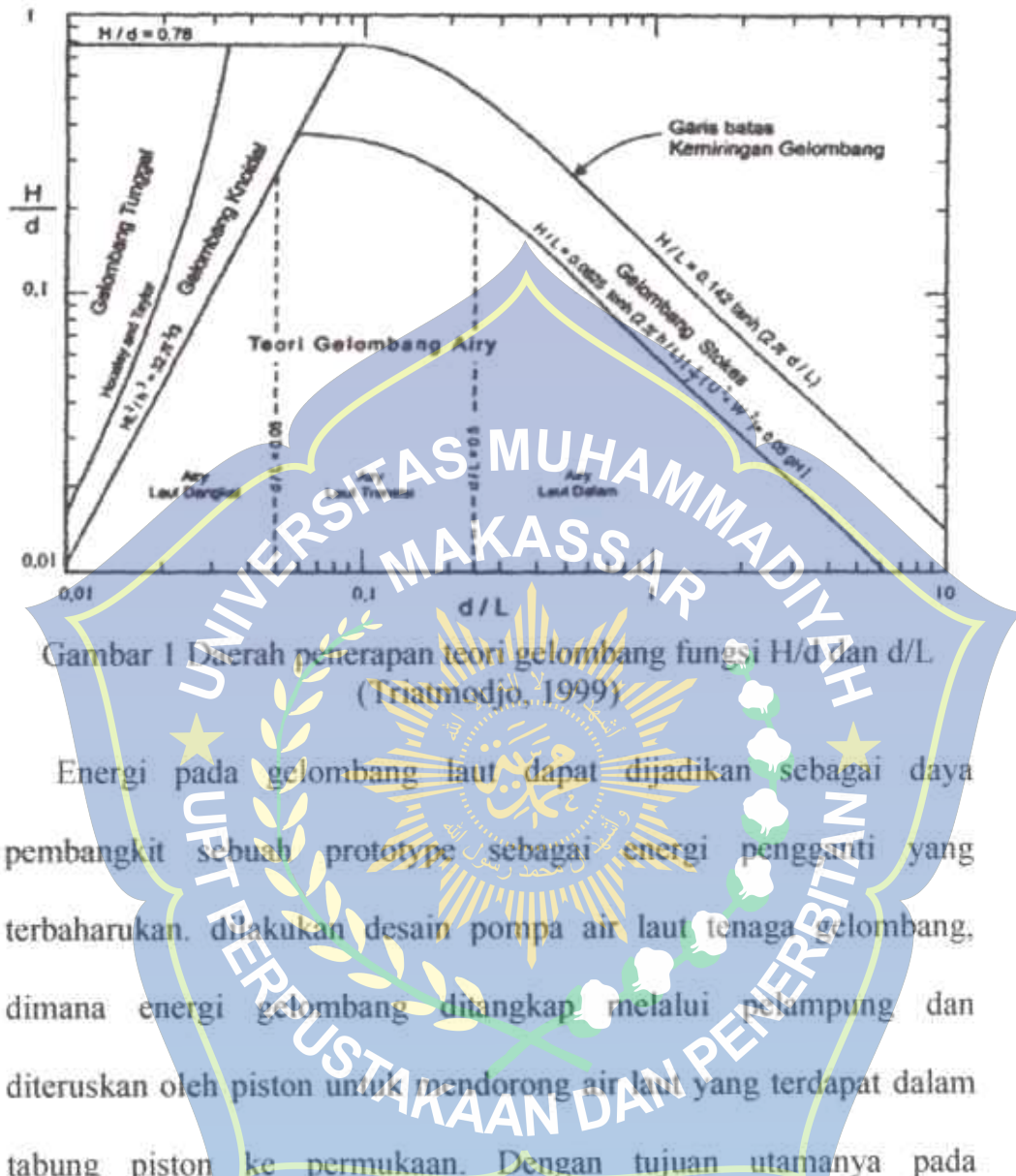
BAB II

TINJAUAN PUSTAKA

A. Definisi Gelombang

Gelombang laut adalah Gerakan naik turun permukaan air laut yang secara teratur memperlihatkan bagian-bagian yang tinggi sebagai puncak dan yang rendah sebagai lembah yang bergerak pada arah tertentu. Bila gelombang mencapai suatu pantai, maka massa air laut akan menghempas atau memukul ke pantai atau daratan. Gelombang dilaut dapat dibedakan menjadi beberapa macam tergantung pada daya pembangkitnya. Terdapat beberapa teori yang menggambarkan bentuk gelombang dengan beberapa derajat kekompleksan dan ketelitian untuk menggambarkan kondisi di alam diantaranya adalah teori gelombang linier (teori Airy atau teori gelombang amplitude kecil) dan teori gelombang non-linear diantaranya gelombang Stokes, gelombang Knoidal, gelombang Gerstner, Mich, dan gelombang tunggal (solitary wave). Masing-masing teori tersebut mempunyai batasan keberlakuan yang berbeda. Untuk menentukan teori yang paling sesuai dengan permasalahan yang dihadapi, diberikan batasan pemakaian dari masing-masing teori gelombang pada gambar 1.

Dalam gambar tersebut penerapan teori gelombang didasarkan pada nilai perbandingan H/d dan d/L (Triatmodjo, 1999).



Gambar 1 Daerah penerapan teori gelombang fungsi H/d dan d/L .
(Triatmodjo, 1999)

Energi pada gelombang laut dapat dijadikan sebagai daya pembangkit sebuah prototype sebagai energi pengganti yang terbaharukan. dilakukan desain pompa air laut tenaga gelombang, dimana energi gelombang ditangkap melalui pelampung dan diteruskan oleh piston untuk mendorong air laut yang terdapat dalam tabung piston ke permukaan. Dengan tujuan utamanya pada pemanfaatan energi gelombang untuk mensuplai air laut ke daratan untuk berbagai keperluan seperti untuk irigasi perikanan air asin atau

payau dan pemanfатannya untuk tambak udang. Teknologi penangkap energi gelombang dengan sistem pompa tenaga gelombang pada prinsipnya merupakan transformasi energi gelombang menjadi energi pemompaan yang menghasilkan debit air dan tinggi pemompaan.

Teknologi penangkap energi gelombang dengan sistem pompa tenaga gelombang pada prinsipnya merupakan transformasi energi gelombang menjadi energi pemompaan yang menghasilkan debit air dan tinggi pemompaan. transformasi energi ini melalui proses dari alat pompa gelombang tipe pelampung. Energi gelombang yang ditangkap oleh pompa gelombang tipe pelampung menerima gaya gelombang, mengakibatkan pelampung bergerak naik turun secara harmonik. Pergerakan pelampung tersebut mengerakkan lengan pompa yang dipasang tegak lurus dengan pergerakan naik turunnya lengan pompa mengakibatkan klep akan terbuka dan tertutup. Pada saat klep terbuka mengakibatkan air laut masuk kemudian mengisi tabung piston dan akibatnya di tabung piston akan terdapat tekanan, yang akan diteruskan ke pipa penyiar untuk menompa air ke atas dengan ketinggian tertentu. Mekanisme ini terjadi berulang-ulang hingga air dalam tabung akan ter dorong dan mengalir dengan Q tertentu. Pada pemanfaatan Pompa tenaga gelombang laut ini, air laut hasil

pemompaan ditampung dalam suatu reservoir pada ketinggian tertentu. Pompa dibuat serial yang terdiri dari banyak unit untuk mensuplai satu reservoir. Selanjutnya dari reservoir air dialirkan ke bawah melalui pipa pesat untuk memutar turbin yang dihubungkan.

Cara untuk menangkap energi gelombang ada beberapa macam, berikut adalah tiga cara yang dapat dilakukan untuk menangkap gelombang laut adalah:

1. Pelampung

Alat ini akan membangkitkan listrik dari hasil gerakan vertikal dan rotasional pelampung dan dapat ditambahkan pada sebuah rakit yang mengambang atau alat yang tertambatkan didasar laut.

2. Kolom air yang berosilasi (Oscillating Water Column)

Alat ini membangkitkan listrik naik turunnya air akibat gelombang dalam sebuah pipa silinder yang berlubang. Naik turunnya kolom air ini akan mengakibatkan keluar masuknya udara dilubang bagian atas pipa dan menggerakan turbin. Sederhananya OWC merupakan salah satu sistem dan peralatan yang dapat mengubah energi gelombang laut menjadi energi listrik dengan menggunakan kolom osilasi. Alat osilasi ini akan menangkap energi gelombang yang mengenai lubang pintu OWC, sehingga terjadi fluktuasi atau

osilasi gerakan baling-baling turbin yang dihubungkan dengan generator listrik sehingga menghasilkan listrik.

3. Wave surge atau focusing devices

Peralatan ini bisa juga disebut sebagai tapered channel atau kanal meruncing atau sistem yang di pasang pada sebuah struktur kanal yang dibangun dipantai untuk mengkonsentrasi gelombang. Membawanya kedalam kolam penampung yang diringgikan. Air yang mengalir keluar dari kolam penampung ini yang digunakan untuk membangkitkan listrik dengan menggunakan teknologi standar hydropower.

B. Karakteristik Gelombang

Parameter penting untuk menjelaskan gelombang air adalah panjang gelombang, tinggi gelombang dan kedalaman air dimana gelombang tersebut menjalar.

Sebuah gelombang terdiri dari beberapa bagian antara lain:

1. Puncak gelombang adalah titik tertinggi dari sebuah gelombang.
2. Lembah gelombang adalah titik terendah gelombang, diantara dua puncak gelombang.

3. Panjang gelombang adalah jarak mendatar antara dua puncak gelombang atau antara dua lembah gelombang.
4. Tinggi gelombang adalah jarak tegak antara puncak dan lembah gelombang.
5. Periode gelombang adalah waktu yang diperlukan oleh dua puncak gelombang yang berurutan untuk melalui satu titik.

Berdasarkan teori Airy maka gerak gelombang dianggap sebagai kurva sinus harmonis, gelombang dapat dijelaskan secara geometris (Triatmodjo, 1999) berdasarkan :

- a. Tinggi gelombang (H), yaitu jarak antara puncak dan lembah gelombang dalam satu periode gelombang. ($2a$)
- b. Panjang gelombang (L), jarak antara dua puncak gelombang yang berurutan.
- c. Jarak antara muka air rerata dan dasar laut (d) atau kedalaman laut.

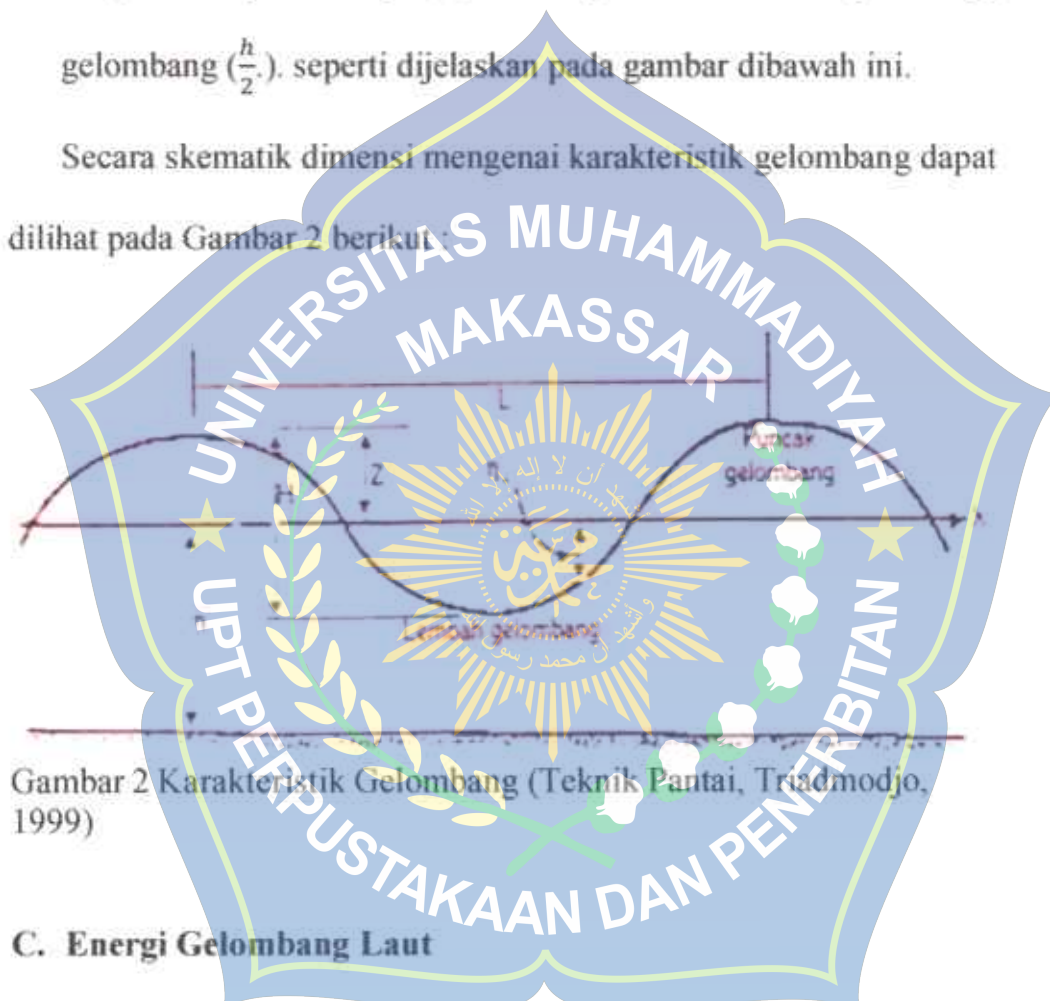
Ketiga parameter tersebut diatas digunakan untuk menentukan parameter gelombang lainnya, seperti :

- a. Ketinggian gelombang (wave height) = $2a$
- b. Kemiringan gelombang (wave steepness) = H/L

Parameter penting lainnya seperti:

- a. Periode gelombang (T), yaitu interval waktu yang dibutuhkan antara puncak gelombang (wave crest).
- b. Frekuensi (f), yaitu jumlah puncak gelombang yang melewati titik tetap per-detik. $\omega = \frac{2\pi}{T}$.
- c. Amplitudo gelombang (A), biasanya diambil setengah tinggi gelombang ($\frac{h}{2}$). seperti dijelaskan pada gambar dibawah ini.

Secara skematis dimensi mengenai karakteristik gelombang dapat dilihat pada Gambar 2 berikut:



Gambar 2 Karakteristik Gelombang (Teknik Pantai, Triadmodjo, 1999)

C. Energi Gelombang Laut

Energi gelombang laut adalah energi alternatif yang dibangkitkan melalui efek gerakan tekanan udara akibat fluktuasi pergerakan gelombang.

Konsep dasar yang terkait dengan karakteristik gelombang laut tersebut digunakan dalam perumusan persamaan untuk menentukan besarnya energi gelombang laut. Pengembangan dan penyederhanaan dalam perumusan persamaan yang menghubungkan antara parameter gelombang yang terukur dengan energi gelombang laut dikembangkan berdasarkan beberapa asumsi dasar yang digunakan oleh Rahayu (2000), yaitu:

1. Zat cair atau partikel gelombang adalah homogen dan tidak termampatkan, sehingga rapat massa dianggap konstan
2. Tegangan permukaan diabaikan
3. Gaya coriolis atau gaya yang terjadi akibat perputaran bumi diabaikan
4. Gerak partikel air berada dalam keadaan irrotational
5. Dasar laut dianggap datar, tetap, dan impermeable sehingga kecepatan vertical dasar bernilai nol
6. Tekanan permukaan air dianggap seragam dan konstan
7. Kecepatan partikel air relative lebih kecil daripada kecepatan jalar gelombang
8. Gerak gelombang berbentuk silinder yang tegak lurus arah penjalaran gelombang sehingga gelombang adalah dua dimensi.

Perumusan persamaan energi gelombang dimulai dari teorema dasar energi total gelombang mekanik. Berdasarkan teorema dasar energi total gelombang mekanik, maka energi total gelombang laut adalah jumlah dari energi kinetik (E_k) dan energi potensial (E_p). diketahui bahwa energi kinetik gelombang laut dipengaruhi secara eksplisit oleh parameter-parameter: percepatan gravitasi (g), tinggi gelombang laut (H), massa jenis air laut (ρ), dan panjang gelombang (L).

Untuk Persamaan panjang (L) dan kecerapan rambat (C) gelombang dinyatakan sebagai berikut (US Army Corps of Engineers, 2006).

$$L = \frac{g}{2\pi} T^2 \tanh \frac{2\pi h}{L} \quad (1)$$

Dengan menggunakan cara iterasi maka persamaan (1) dapat diselesaikan untuk menentukan panjang gelombang (L) diperlukan panjang gelombang awal (L_0) dengan menggunakan persamaan berikut:

$$L_0 = 1,56 T^2 \quad (2)$$

$$C = \frac{g}{2\pi} T \tanh \frac{2\pi d}{L} \quad (3)$$

dimana :

T : periode gelombang [s]

g : percepatan gravitasi [m/s²] π

h : kedalaman air (*still water depth*) [m].

Perumusan persamaan energi potensial terdapat fluktuasi muka air laut fluktuasi muka air laut rata-rata (η) yang secara eksplisit dipengaruhi oleh parameter-parameter: ketinggian gelombang (H), bilangan gelombang atau konstanta (k), $k = \frac{2\pi}{\lambda}$, jarak tempuh gelombang (x), kecepatan fase gelombang (ω) dan waktu perambatan gelombang (t).

Fungsi energi potensial dan energi kinetik gelombang laut mempunyai bentuk yang sama sehingga besarnya energi total gelombang laut dua kali lipat dari energi kinetik atau energi potensial gelombang laut tersebut.

Peralatan pompa gelombang menangkap energi gelombang air laut yang besarnya merupakan total dari energi kinetik dan energi potensial untuk memompa air ke atas. Efisiensi pompa yang merupakan tingkat efektifitas pompa

untuk menangkap energi adalah merupakan perbandingan dari energi kinetik air hasil pemompaan terhadap energi gelombang air laut.

Karena energi gelombang yang ditangkap oleh alat tidak kontinyu, maka dalam evaluasi ditinjau parameter daya rata-rata untuk satu gelombang, yang besarnya adalah:

$$D_w = \frac{1}{8} \gamma H^2 v \times g \quad (4)$$

Dimana:

D_w = daya gelombang (N.m/s)

γ = berat jenis air (1000 kg/m^3)

B = lebar papan osilasi (m)

H = tinggi gelombang (m)

v = kecepatan penjalaran gelombang = \sqrt{gh}

g = gaya gravitasi (m/s^2)

h = Kedalaman Air Saluran (m)

Sedangkan daya air hasil pemompaan dirumuskan sebagai:

$$D_v = \gamma \times Z \times Q \times g = \gamma Z \frac{v}{T} \quad (5)$$

Dimana:

D_v = Daya Air Hasil Pemompaan (N.m/s)

Z = Tinggi pemompaan (m)

Q = Debit Rata-Rata Hasil Pemompaan (m^3/s)

V = Volume air dari hasil pemompaan selama satu periode gelombang

T = Periode gelombang (s)

Efisiensi pompa gelombang yang merupakan efisiensi keseluruhan alat (ηT), yang merupakan perbandingan antara daya yang bekerja pada gelombang dengan daya yang dihasilkan dari hasil pemompaan.

Daya yang bekerja pada gelombang dihitung dengan persamaan (4) sedangkan daya hasil pemompaan dihitung dengan persamaan (5), sehingga efisiensi pompa bisa dihitung dengan:

$$\eta T = \frac{\gamma Q Z g}{\frac{1}{8} \gamma B H_0^2 v g} = \frac{8 Z V}{B H_0^2 v} \quad (6)$$

Dimana:

γ = Berat jenis air = 1000 kg/m^3

Q = Debit rata-rata hasil pemompaan (m^3/s)

Z = Tinggi pemompaan (m)

V = Volume air hasil pemompaan oleh satu osilasi papan atau satu langkah gerakan pompa, yang dibangkitkan oleh satu periode gelombang (m^3)

T = Periode Gelombang (s)

B = Lebar papan osilasi (m)

H_o = Tinggi gelombang (m)

v = Kecepatan penjalaran gelombang = \sqrt{gh}

g = Gaya gravitasi (m/s^2)

h = Kedalaman air salunan (m)

D. Klasifikasi Teori Gelombang

Jika ditinjau dari kedalaman relatif dimana gelombang menjalar, maka gelombang dikelompokkan dalam 3 kategori yaitu gelombang laut dangkal, gelombang laut transisi dan gelombang laut dalam. Batasan dari ketiga kategori tersebut didasarkan pada rasio antara kedalaman dan panjang gelombang (d/L). Batasan penggunaannya dapat dilihat pada tabel berikut:

Tabel I. Batasan gelombang air dangkal, air-transisi dan air dalam

Kategori gelombang	d/L	$2\pi d/L$	$Tan \theta (2\pi d/L)$
Laut dalam	$> 1/2$	< 0.25	$< 0.6(2\pi d/L)$
Laut transisi	$1/20 - 1/2$	$0.25 - \pi$	$0.6(2\pi d/L)$
Laut dangkal	$< 1/20$	> 0.5	$> 2\pi d/L$

Sumber. Teknik Pemeliharaan Terowongan, 1999.

Gelombang juga dapat dikelompokkan berdasarkan rasio antara tinggi gelombang dan panjang gelombang. Pada pengelompokan ini dikenal gelombang amplitudo kecil dan gelombang amplitudo

berhingga (Stock, Cnoidal, Solitair). Gelombang amplitudo kecil dikembangkan oleh Airy sehingga dikenal dengan teori gelombang Airy. Teori gelombang Airy diturunkan berdasarkan anggapan bahwa perbandingan antara tinggi gelombang dengan panjangnya atau kedalamanya sangat kecil, sedangkan teori gelombang amplitudo berhingga memperhitungkan besarnya rasio antara tinggi gelombang terhadap panjang dan kedalaman airnya.

E. Hukum Dasar Model

Konsep dasar pemodelan dengan bantuan skala model adalah membentuk kembali masalah atau fenomena yang ada di prototipe dalam skala yang lebih kecil, sehingga fenomena yang terjadi di model akan sebangun (mirip) dengan yang ada di prototipe. Kesebangunan yang dimaksud adalah berupa sebangun geometrik, sebangun kinematik dan sebangun dinamik (Nur Yawono, 1996).. Hubungan antara model dan prototipe diturunkan dengan skala, untuk masing-masing parameter mempunyai skala tersendiri dan besarnya tidak sama. Skala dapat didefinisikan sebagai rasio antara nilai yang ada di prototipe dengan nilai parameter tersebut pada model.

1. Sebangun Geometrik

Sebangun geometrik adalah suatu kesebangunan dimana bentuk yang ada di model sama dengan bentuk prototipe tetapi ukuran bisa berbeda. Perbandingan antara semua ukuran panjang antara model dan prototipe adalah sama. Ada dua macam kesebangunan geometrik, yaitu sebangun geometrik sempurna (*tanpa distorsi*) dan sebangun geometrik dengan distorsi (*distorted*). Pada sebangun geometrik sempurna skala panjang arah horizontal (skala panjang) dan skala panjang arah vertikal (skala tinggi) adalah sama, sedangkan pada *distorted* model skala panjang dan skala tinggi tidak sama. Jika memungkinkan sebaiknya skala dibuat tanpa distorsi, namun jika terpaksa, maka skala dapat dibuat distorsi. Sebangun geometrik dapat dinyatakan dalam bentuk :

$$n_L = \frac{L_p}{L_m} \quad (7)$$

$$n_h = \frac{h_p}{h_m} \quad (8)$$

Dengan :

n_L = skala panjang

n_h = skala tinggi

L_p = ukuran panjang prototipe

L_m = ukuran panjang model

h_p = ukuran tinggi pada prototipe

h_m = ukuran tinggi pada model

2. Sebangun Kinematik

Sebangun kinematik adalah kesebangunan yang memenuhi kriteria sebangun geometrik dan perbandingan kecepatan dan percepatan aliran di dua titik pada model dan prototipe pada arah yang sama adalah sama besar. Pada model tanpa distorsi, perbandingan kecepatan dan percepatan pada semua arah adalah sama, sedangkan pada model dengan distorsi perbandingan yang sama hanya pada arah tertentu saja, yaitu pada arah vertikal atau horizontal. Oleh sebab itu pada permasalahan yang menyangkut tiga dimensi sebaiknya tidak menggunakan *distorted* model. Skala kecepatan diberi notasi n_u , skala percepatan n_a dan skala waktu n_t didefinisikan sebagai berikut:

$$n_u = \frac{u_p}{u_m} = \frac{n_t}{n_r} \quad (9)$$

$$n_a = \frac{a_p}{a_m} = \frac{n_r}{n_{rz}} \quad (10)$$

$$n_Q = \frac{Q_p}{Q_m} = \frac{n_r}{n_t} \quad (11)$$

$$n_T = \frac{T_p}{T_m} \quad (12)$$

3. Sebangun Dinamik

Sebangun dinamik adalah kesebangunan yang memenuhi kriteria sebangun geometrik dan kinematik, serta perbandingan gaya-gaya yang bekerja pada model dan prototipe untuk seluruh pengaliran pada arah yang sama adalah sama besar. Gaya-gaya yang dimaksud adalah gaya inersia, gaya tekanan, gaya berat, gaya gesek, gaya kenyal dan tegangan permukaan. Beberapa sebangun dinamik yaitu sebangun dinamik Reynold (*Reynold number*) yang diekspresikan sebagai perbandingan gaya inersia terhadap gaya gesek, sebangun dinamik froude (*froude number*) yaitu perbandingan gaya inersia dan gaya gravitasi, bilangan Cauchy (*Cauchy Number*) yaitu perbandingan gaya inersia dan gaya elastik serta bilangan Weiber (*Weiber Number*) yaitu perbandingan antara gaya inersia dan gaya tegangan permukaan.

Untuk penelitian refleksi dan transmisi gelombang terhadap gelombang yang merambat melalui pemecah gelombang terapung banyak dipengaruhi gaya gravitasi sehingga digunakan kesebangunan Froud. Dengan pertimbangan fasilitas yang ada di laboratorium, maka pada penelitian ini, akan menggunakan skala panjang yang sama

dengan skala tinggi (*undistorted models*) dan menggunakan kesebangunan Froude.

$$F_r = \frac{(\rho L^3)(U^2 / L)}{\rho g L^3} = \frac{U^2}{gL} \quad (13)$$

Dengan demikian bila gaya gravitasi memegang peranan penting dalam permasalahan, maka perbandingan gaya inersia dan gaya gravitasi pada model dan prototipe harus sama.

$$n_{F_r} = \frac{n_U}{n_L^{3/2}} \quad (14)$$

$$n_{F_r} = \frac{F_r}{F_{r_m}} = 1 \quad (15)$$

Oleh karena digunakan model tanpa distorsi, maka skala panjang gelombang n_L , skala panjang struktur n_B , skala kedalaman n_d dan skala sarat n_s adalah sama seperti berikut :

$$n_L = n_B = n_H = n_d = n_s \quad (16)$$

Sedangkan skala waktu n_T dan skala gravitasi ditulis seperti berikut:

$$n_T = n_L^{1/2} \quad (17)$$

$$n_g = 1 \quad (18)$$

F. Pipa Terhadap Pompa

Pompa adalah peralatan mekanis yang mengubah kerja mekanis poros menjadi energi mekanis fluida dan energi yang diterima oleh fluida ini digunakan untuk menaikkan tekanan dari fluida tersebut serta digunakan untuk melawan tahanan yang terdapat pada saluran sehingga dapat dikatakan fungsi dari pompa adalah untuk memindahkan fluida dari suatu tempat ke tempat lain dengan cara menaikkan tekanan fluida tersebut. Pada umumnya pompa digunakan untuk menaikkan fluida dari satu tempat yang rendah ke tempat yang lebih tinggi atau digunakan untuk mengalirkan fluida dari suatu tingkat tertentu ke suatu tempat dengan menggunakan pipa yang sangat panjang.

Jika pompa menaikkan zat cair dari kolam satu ke kolam yang lain dengan selisih muka air H_s , daya yang digunakan oleh pompa menaikkan zat cair setinggi H_s adalah sama dengan tinggi H_s ditambah dengan kehilangan tenaga selama pengaliran dalam pipa tersebut.

Kehilangan tenaga adalah ekuivalen dengan penambahan tinggi elevasi, sehingga efeknya sama jika pompa menaikkan zat cair setinggi $H = H_s + \sum h_t$. Seperti pada gambar 3 tinggi kecepatan

diabaikan sehingga garis tenaga berimpit dengan garis tekanan. Kehilangan tenaga terjadi pada pengaliran pipa 1 dan 2 yaitu sebesar $ht1$ dan $ht2$. Pada pipa 1 yang merupakan pipa isap, garis tenaga (dan tekanan) menurun sampai di bawah pipa.

Bagian pipa di mana garis tekanan di bawah sumbu pipa mempunyai tekanan negatif, sedangkan pipa 2 merupakan pipa tekan. Daya yang diperlukan pompa untuk menaikkan zat cair :

$$Dp = \frac{QHrg}{\eta} \quad (19)$$

atau

$$Dp = \frac{QHrg}{75\eta} (hp) \quad (20)$$

dengan η adalah efisiensi pompa. Pada pemakaian pompa, efisiensi pompa digunakan sebagai pembagi dalam rumus daya pompa. Head pompa adalah kemampuan suatu pompa untuk memindahkan fluida dari suatu tempat ketempat lain yang berbeda ketinggian atau kemampuan pompa untuk memindahkan fluida antara dua tempat yang berbeda jaraknya.

1. Kecepatan Aliran

Kecepatan aliran dapat kita hitung Berdasarkan debit yang dihasilkan oleh model pompa berdiameter (\varnothing) 0,02 m pada kedalaman (d) 29 cm. Adapun rumus yang digunakan adalah sebagai berikut :

Kecepatan aliran yang keluar dari outlet bawah

$$V = Q/A \quad (21)$$

Dimana :

V = kecepatan (m/dtk)

Q = debit (m^3/dtk)

A = luas penampang (m^2)

Berikut beberapa data hasil perhitungan kecepatan aliran pada model dengan diameter (\varnothing) 0,02 m yang dapat dilihat pada 7.

2. Menentukan Tinggi Tekanan (Head)

a. Tekanan Hidrostatik

Zat cair dalam wadah selalu tertarik ke bawah karena adanya gaya gravitasi. Adanya gaya tarik kebawah ini menyebabkan adanya tekanan zat cair pada dasar wadahnya. tekanan zat cair yang hanya disebabkan oleh gaya beratnya sendiri disebut Tekanan Hidrostatik.

Tekanan hidrostatik merupakan tekanan yang diberikan zat cair ke semua arah pada suatu benda akibat adanya gaya gravitasi. Tekanan

hidrostatis akan meningkat seiring dengan bertambahnya kedalaman yang diukur dari permukaan zat cair,

Tekanan hidrostatis pada titik kedalaman berapapun tidak dipengaruhi oleh berat air luasan permukaan air, ataupun bentuk bejana air. Tekanan hidrostatik (p) zat cair dengan massa jenis pada kedalaman h dan percepatan gravitasi g dirumuskan dengan :

$$p = \rho g H \quad (22)$$

Dimana :

p : Tekanan (Pa)

ρ : massa jenis (kg/m^3)

g : Percepatan gravitasi (m/s^2)

H : kedalaman suatu benda dari permukaan zat cair

3. Tekanan akibat gaya

Tekanan pada pompa tidak hanya disebabkan oleh tekanan hidrostatis tapi juga dipengaruhi oleh gaya yang bekerja pada pompa. Adapun yang variabel yang mempengaruhi tekanan pompa yaitu berat pelampung untuk outlet bawah dan daya gelombang untuk outlet atas.. Dan daya akibat gelombang berbeda-beda berdasarkan tinggi gelombang. Pada perhitungan kali ini kita akan menggunakan daya

gelombang yang dihasilkan model Ø 2,0 cm. Berikut perhitungan tekanan yang disebabkan oleh gaya :

Untuk outlet bawah:

$$m = 1.0 \text{ kg}$$

$$F = m \times g \quad (23)$$

Sehingga :

$$P = F/A \quad (24)$$

Untuk outlet atas:

$$F = \frac{Dw}{v} \quad (25)$$

Sehingga :

$$P = \frac{F}{A \text{ piston}} \quad (26)$$

G. Hipotesis

Salah satu penangkap energi gelombang adalah dengan menggunakan pelampung yang bergerak secara vertikal. Pelampung didesain sedemikian rupa sehingga mampu bergerak secara kontinyu mengikuti gerakan gelombang naik turun yang datang. Dengan cara ini energi gelombang ditangkap melalui tabung pompa yang mempunyai lobang inlet pada bagian atas dan bawah dari tabung

pompa tersebut. Untuk mengejarkan piston. Saat bergerak naik dan turun piston akan maka akan terbuka lobang inti sehingga air laut akan masuk untuk mengisi tabung pompa. Pada saat bergerak keatas dan kebawah tekanan air akan dihasilkan oleh tali piston. Gerakan naik turun pelampung diluar tabung pompa akan mendorong air laut yang terdapat dalam tabung pompa untuk selanjutnya disalurkan yang terdapat dalam tabung pompa untuk bagian atas dan bawah dengan pipa penyunti outlet yang terdapat pada bagian atas dan bawah tabung pompa menunjukkan tempat yg lebih tinggi. Debit (Q) yang disalurkan sampai dengan ketetinggian Z akan memiliki energi potensial menghasilkan energi listrik yang dapat membantu masyarakat jangkauan pompa air laut tersebut. Gaya getaran yang selama ini memompa air laut kedalam dengan keuntungan lebih . tanpa bahan disekitarnya, pompa air laut tersebut dapat digunakan untuk membangkiti listrik serta mengait areal pertanian tambak.

Table 2. Matiks Penelitian Yang Relevan

No	Nama/Tahun	Jadul	Hasil	Riset
1	Abdullah Al Mahfazur Ridl Rahman, M. Montuzzizma n, M. Mamun, 2017	Energi Conveter Point Potensi Absorber Konverter Gelombang Type Buoys Wave Lainnya. ulama yang menyadi perhatian dengan jumlah gelombang Parameter Pendek Sudut Fase Parameter Tinggi Amplitude gelombang Parameter menghasilkan Penemuan alternatif gelombang Amplitude gelombang Period gelombang Sudut Fase Parameter Model gelombang alat konversi energi gelombang ini berfungsi sebagai gelombang yang berada ada salah penyebaran energi gelombang gelombang gelombang Parameter gelombang mengetahui jumlah potensi tinggi dibandingkan dengan jumlah lainnya. ulama yang menyadi perhatian dengan jumlah gelombang Parameter gelombang mengetahui jumlah potensi tinggi dibandingkan dengan jumlah lainnya. ulama yang menyadi perhatian dengan jumlah gelombang Parameter gelombang mengetahui jumlah potensi tinggi dibandingkan dengan jumlah lainnya. ulama yang menyadi perhatian dengan jumlah gelombang Parameter gelombang mengetahui jumlah potensi tinggi dibandingkan dengan jumlah lainnya.	Estimation of Energy Potential of Point Absorber Conveter Point Potensi Absorber Konverter Gelombang Type Buoys Wave Lainnya. ulama yang menyadi perhatian dengan jumlah gelombang Parameter gelombang mengetahui jumlah potensi tinggi dibandingkan dengan jumlah lainnya. ulama yang menyadi perhatian dengan jumlah gelombang Parameter gelombang mengetahui jumlah potensi tinggi dibandingkan dengan jumlah lainnya. ulama yang menyadi perhatian dengan jumlah gelombang Parameter gelombang mengetahui jumlah potensi tinggi dibandingkan dengan jumlah lainnya.	Abdullah Al Mahfazur Ridl Rahman, M. Montuzzizma n, M. Mamun, 2017
2	Dwi Prasetyo Uromo, Agus Muhammad Utomo, Nova Shabana, Agus Sahabana, Risdiyanto Ismail	Perbedaan Diameter Pada H = Tinggi Arus dan volatse yang terbaik di dapat gelombang Diameter Piston berdiameter 20cm. Tinggi Pelanpung Tetheradap Kineja Ocean Wave Energy 20 cm gelombang 15 cm dan diameter piston Kecepatan gelombang 20 cm gelombang 15 cm T =	Pertedaan Diameter pada H = Tinggi Arus dan volatse yang terbaik di dapat gelombang Diameter Piston berdiameter 20cm. Tinggi Pelanpung Tetheradap Kineja Ocean Wave Energy 20 cm gelombang 15 cm dan diameter piston Kecepatan gelombang 20 cm gelombang 15 cm T =	Dwi Prasetyo Uromo, Agus Muhammad Utomo, Nova Shabana, Agus Sahabana, Risdiyanto Ismail
3	Muhammad Uromo, Agus Sahabana, Risdiyanto Ismail	Arus dan volatse yang terbaik di dapat gelombang Diameter Piston berdiameter 20cm. Tinggi Pelanpung Tetheradap Kineja Ocean Wave Energy 20 cm gelombang 15 cm dan diameter piston Kecepatan gelombang 20 cm gelombang 15 cm T =	Pertedaan Diameter pada H = Tinggi Arus dan volatse yang terbaik di dapat gelombang Diameter Piston berdiameter 20cm. Tinggi Pelanpung Tetheradap Kineja Ocean Wave Energy 20 cm gelombang 15 cm dan diameter piston Kecepatan gelombang 20 cm gelombang 15 cm T =	Muhammad Uromo, Agus Sahabana, Risdiyanto Ismail

No	Nama/Taruh	Judul	Budi Harryanto, Radiantta Tratmadasa, Nizam
2	Sebagai Pembangkit Tenaga Pemanfaatan arus Rpm	Listik Poros Amperere Volt mengehasilkan arus listrik dan diameter piston 20 cm mengehasilkan voltase pada 31,70 V. Tinggi listrik tegangan arus listrik pada 20 cm dan diameter piston 20 cm mengehasilkan voltase pada 31,70 V. Tinggi listrik pada 20 cm mengehasilkan efisiensi pada 8,31%. Ang PLTGelembang 15 cm dan diameter piston 20 cm mengehasilkan efisiensi pada 8,31%.	Yaitu 31,70 V. Tinggi listrik pada 20 cm mengehasilkan voltase pada 31,70 V. Tinggi listrik pada 20 cm mengehasilkan efisiensi pada 8,31%.

Panjang gelombang	lisitik dan amplitudo	tenaga gelombang laut	(L), Fluktuasi muka air laut rata-rata (η), ketenggian gelombang	maka arir laut melalui perhitungan	pada beberapa sampel	data diketahui bahwa nilai energi rata-rata	gelombang laut mendekati dua kali	lipat ketinggian gelombang	percepatan gravitasi (H)
Desain heaving teradaptasi pada laut	konverter teradaptasi pada laut	terhadap tanda yang berulang	dengean bentuk gelombang 0,2 m	terdapat pada laut yang memiliki amplitudo	dam yang memiliki amplitudo	terbesar pada laut yang memiliki amplitudo	terbesar pada laut yang memiliki amplitudo	terbesar pada laut yang memiliki amplitudo	frekuensi
Wave Energy Converter,	konverter terhadap tanda yang berulang	terdapat pada laut yang memiliki amplitudo	dengean bentuk gelombang 0,2 m	terdapat pada laut yang memiliki amplitudo	dam yang memiliki amplitudo	terbesar pada laut yang memiliki amplitudo	terbesar pada laut yang memiliki amplitudo	terbesar pada laut yang memiliki amplitudo	frekuensi
Ras Yudarmo Hardi Sasmitho Karyanto, 2016	desain heaving teradaptasi pada laut	konverter terhadap tanda yang berulang	dengean bentuk gelombang 0,2 m	terdapat pada laut yang memiliki amplitudo	dam yang memiliki amplitudo	terbesar pada laut yang memiliki amplitudo	terbesar pada laut yang memiliki amplitudo	terbesar pada laut yang memiliki amplitudo	frekuensi
Ras Yudarmo Hardi Sasmitho Karyanto, 2016	desain heaving teradaptasi pada laut	konverter terhadap tanda yang berulang	dengean bentuk gelombang 0,2 m	terdapat pada laut yang memiliki amplitudo	dam yang memiliki amplitudo	terbesar pada laut yang memiliki amplitudo	terbesar pada laut yang memiliki amplitudo	terbesar pada laut yang memiliki amplitudo	frekuensi
Eko Sasmitho Hardi Sasmitho Karyanto, 2016	desain heaving teradaptasi pada laut	konverter terhadap tanda yang berulang	dengean bentuk gelombang 0,2 m	terdapat pada laut yang memiliki amplitudo	dam yang memiliki amplitudo	terbesar pada laut yang memiliki amplitudo	terbesar pada laut yang memiliki amplitudo	terbesar pada laut yang memiliki amplitudo	frekuensi
Konten makalah ini adalah hasil kerja ilmiah yang dilakukan oleh mahasiswa	desain heaving teradaptasi pada laut	konverter terhadap tanda yang berulang	dengean bentuk gelombang 0,2 m	terdapat pada laut yang memiliki amplitudo	dam yang memiliki amplitudo	terbesar pada laut yang memiliki amplitudo	terbesar pada laut yang memiliki amplitudo	terbesar pada laut yang memiliki amplitudo	frekuensi
Ras Yudarmo Hardi Sasmitho Karyanto, 2016	desain heaving teradaptasi pada laut	konverter terhadap tanda yang berulang	dengean bentuk gelombang 0,2 m	terdapat pada laut yang memiliki amplitudo	dam yang memiliki amplitudo	terbesar pada laut yang memiliki amplitudo	terbesar pada laut yang memiliki amplitudo	terbesar pada laut yang memiliki amplitudo	frekuensi
Konten makalah ini adalah hasil kerja ilmiah yang dilakukan oleh mahasiswa	desain heaving teradaptasi pada laut	konverter terhadap tanda yang berulang	dengean bentuk gelombang 0,2 m	terdapat pada laut yang memiliki amplitudo	dam yang memiliki amplitudo	terbesar pada laut yang memiliki amplitudo	terbesar pada laut yang memiliki amplitudo	terbesar pada laut yang memiliki amplitudo	frekuensi
Ras Yudarmo Hardi Sasmitho Karyanto, 2016	desain heaving teradaptasi pada laut	konverter terhadap tanda yang berulang	dengean bentuk gelombang 0,2 m	terdapat pada laut yang memiliki amplitudo	dam yang memiliki amplitudo	terbesar pada laut yang memiliki amplitudo	terbesar pada laut yang memiliki amplitudo	terbesar pada laut yang memiliki amplitudo	frekuensi
Ras Yudarmo Hardi Sasmitho Karyanto, 2016	desain heaving teradaptasi pada laut	konverter terhadap tanda yang berulang	dengean bentuk gelombang 0,2 m	terdapat pada laut yang memiliki amplitudo	dam yang memiliki amplitudo	terbesar pada laut yang memiliki amplitudo	terbesar pada laut yang memiliki amplitudo	terbesar pada laut yang memiliki amplitudo	frekuensi



- A. Tempat dan Waktu Penelitian
- Penelitian dilaksanakan di laboratorium hidrolika Jurusan Teknik Sipil Fakultas Teknik Universitas Hasanuddin dengan temanya waktu penelitian selama 6 bulan.
- B. Jenis Penelitian dan Sumber Data
- Jenis penelitian yang dilakukan adalah eksperimental, di mana kondisi tersebut ditularkan oleh peneliti dengan mengacu pada literatur-literatur tersebut dan ditutup oleh peneliti dengan mengecualikan pada literatur yang berkenaan dengan penelitian tersebut, serta adanya kontrol, dengan tujuan untuk menyelidiki ada tidaknya hubungan sebab akibat serta berapa besar hubungan sebab akibat tersebut dengan mempertahankan periklauan terentu pada beberapa kategori eksperimental dan menyelidiki kontrol untuk pembandingan.
- Metode yang dipakai dalam mendapatkan data yaitu metode langsung Pengambilan data yang dilakukan adalah:
1. Data tinggi gelombang
 2. Data tinggi tekanan piston
 3. Data debit yang dihasilkan oleh pompa gelombang

METODE PENELITIAN

BAB III

C. Alat dan Bahan

a. Alat

a. Tangki pembangkit gelombang (Wave Flume)

Dilakukan pada saluran gelombang multiguna berukuran panjang 15 m, lebar

30 cm. Kedalaman efektif saluran 46 cm.



b. Unit pembangkit gelombang

Mesin pembangkit terdiri dari mesin utama, pulley yang berfungsi menaikkan waktu putaran printingan yang dihubungkan pada stroke sehingga meningkatkan

rap pembangkit gelombang.

mengeanalisa data,

h. Komputer, printer dan scanner digunakan untuk membantu dalam

Gambar 5 Wave monitor dan probe



g. Wave monitor dan probe

c. Stopwatch untuk mengekstrak periode gelombang

e.

f.

g.

h.

Gambar 4 Unit pembanding gelombang tipe Flap



1. Kamera digital digunakan untuk merekam (dalam bentuk foto) momen-momen yang penting dalam keseluruhan kegiatan penelitian khususnya tahap-tahap dalam proses penelitian.
2. Tabel data untuk mencatat data yang diikuti, serta alat tulis.
- a. Bahau
1. Model pompa gelombang yang digunakan dalam penelitian ini dibuat dalam 1 cm, tabung terbuat dari bahan acrilic bening dengan tebal 3 mm dengan model pompa gelombang dengan diameter tabung yang dituliskan (menyesuaikan flume) berdasarkan kebutuhan (menyesuaikan flume). Beberapa bahan yang akan digunakan dalam penelitian adalah piston penekan air naik dan turun, tinggi dan panjang model pompa gelombang mengejukan pada tabung di luar dari tabung penangkap air untuk mempermudah dilakukan percobaan. Beberapa bagian pada pompa gelombang terdiri dari tabung dengan diameter tabung Ø 2,0 cm, tabung terbuat dari bahan acrilic bening dengan tebal 3 mm dengan diameter tabung Ø 2,0 cm yang berfungsi sebagai inti denagan tebal 3 mm = 0,3 cm. bagian bahan acrilic bening berfungsi sebagai lubang masuknya air kedalam tabung pada alas dan bawah dari tabung dibuat 2 lubang inti dengan diameter lubang Ø 1,7 cm yang berfungsi sebagai lubang masuknya air kedalam tabung pada saat piston bergerak naik turun disertai kaitup untuk menahan air keluar sehingga air akan masuk mengisi tabung secara kontinyu.
1. Model pompa gelombang yang terbuat dari tabung transparan dengan diameter tabung yang dituliskan tabung bagian dalam Ø 2,0 cm terbuat dari bahan acrilic bening berfungsi sebagai lubang denagan tebal 3 mm = 0,3 cm. bagian bahan acrilic bening berfungsi sebagai lubang masuknya air kedalam tabung pada alas dan bawah dari tabung dibuat 2 lubang inti dengan diameter lubang Ø 1,7 cm yang berfungsi sebagai lubang masuknya air kedalam tabung pada saat piston bergerak naik turun disertai kaitup untuk menahan air keluar sehingga air akan masuk mengisi tabung secara kontinyu.
2. Model pompa gelombang berbentuk seperti empat yang bisa terapung dan bergerak naik turun sesuai tinggi rendahnya gelombang dipasang pada bagian luar tabung pompa, diameter pelampung adalah Ø 5,5 cm, tinggi pelampung 6 cm, dan lebar pelampung 20 cm.

- Pipa outlet terbuat dari pipa transparan dengan diameter \varnothing 0,5 cm yang berfungsi sebagai pipa penyiar yang dipasang pada bagian atas dan bawah tabung pompa, pemasangan dan tinggi pipa outlet disesuaikan dengan kondisi

4. Piston ditempatkan pada bagian dalam tabung yang akan bergerak vertikal bersamaan dengan pelampung. Piston bergerak secara vertikal dan berfungsi untuk menekan air kebawah dan ketas sehingga air akan keluar melalui lubang outlet (pengurasan). Piston terbuat dari bahan keret yang tahan air, tebal dan diameter piston disesuaikan dengan diameter badan tabung

Spesifikasi dilakukan penelitian, terlebih dahulu dilakukan desain perancangan model berdasarkan variabel yang akan diteliti adapun variabel yang diteliti adalah Tinggi Gelombang (H), Periode Gelombang (T), Panjang Gelombang (L) dan lamanya waktu peningisian tabung pompa gelombang (t), sedangkan variabel bebas dalam penelitian ini adalah periode gelombang (T), panjang gelombang (L), tinggi gelombang (H), serta diameter tabung pompa dan jumlah lobang melt

E. Pelaksanaan Studi Model

Desaan/perancangan model pompa gelombang type pelampung gerakkan vertikal didasarkan pada beberapa spesifikasi yaitu :

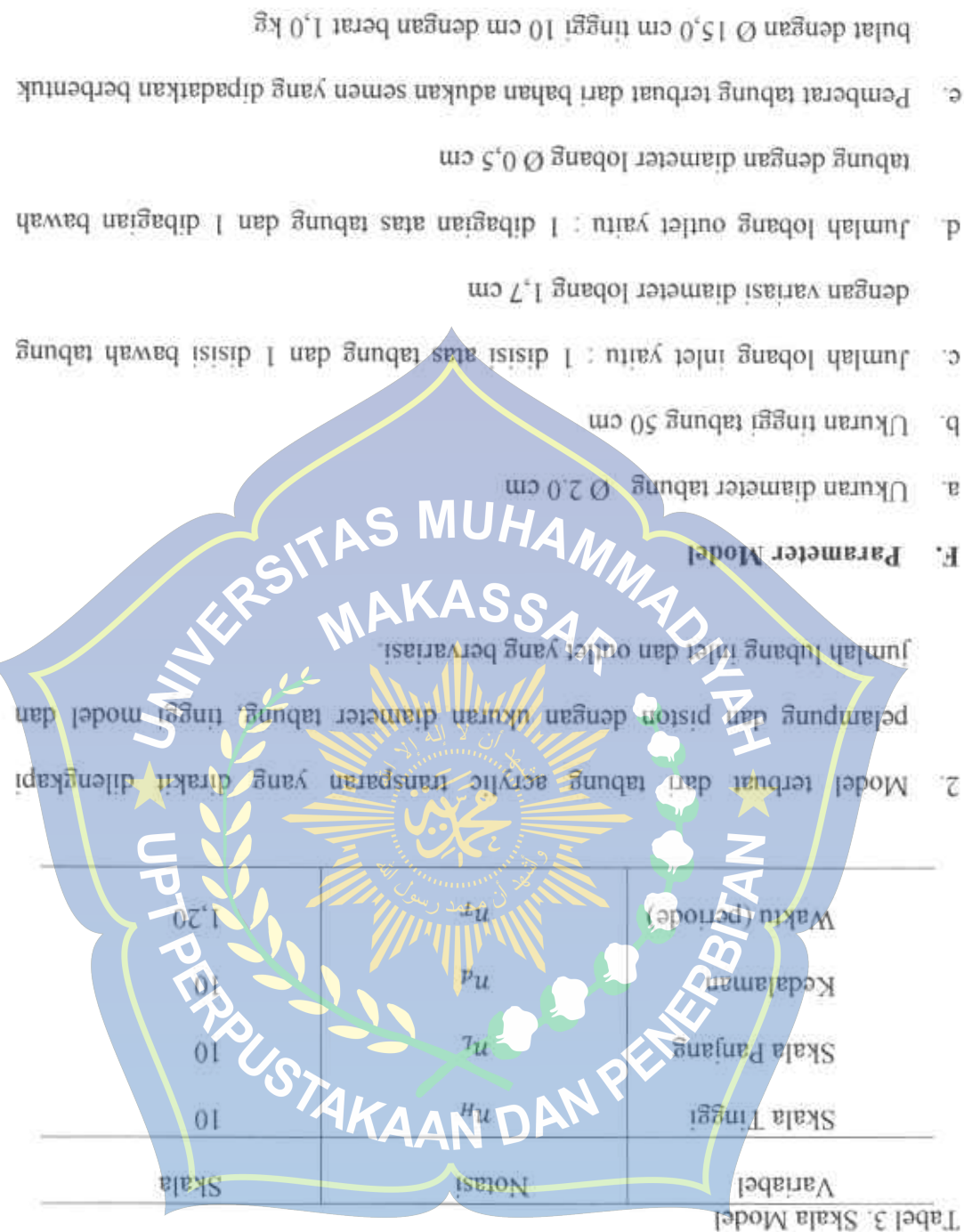
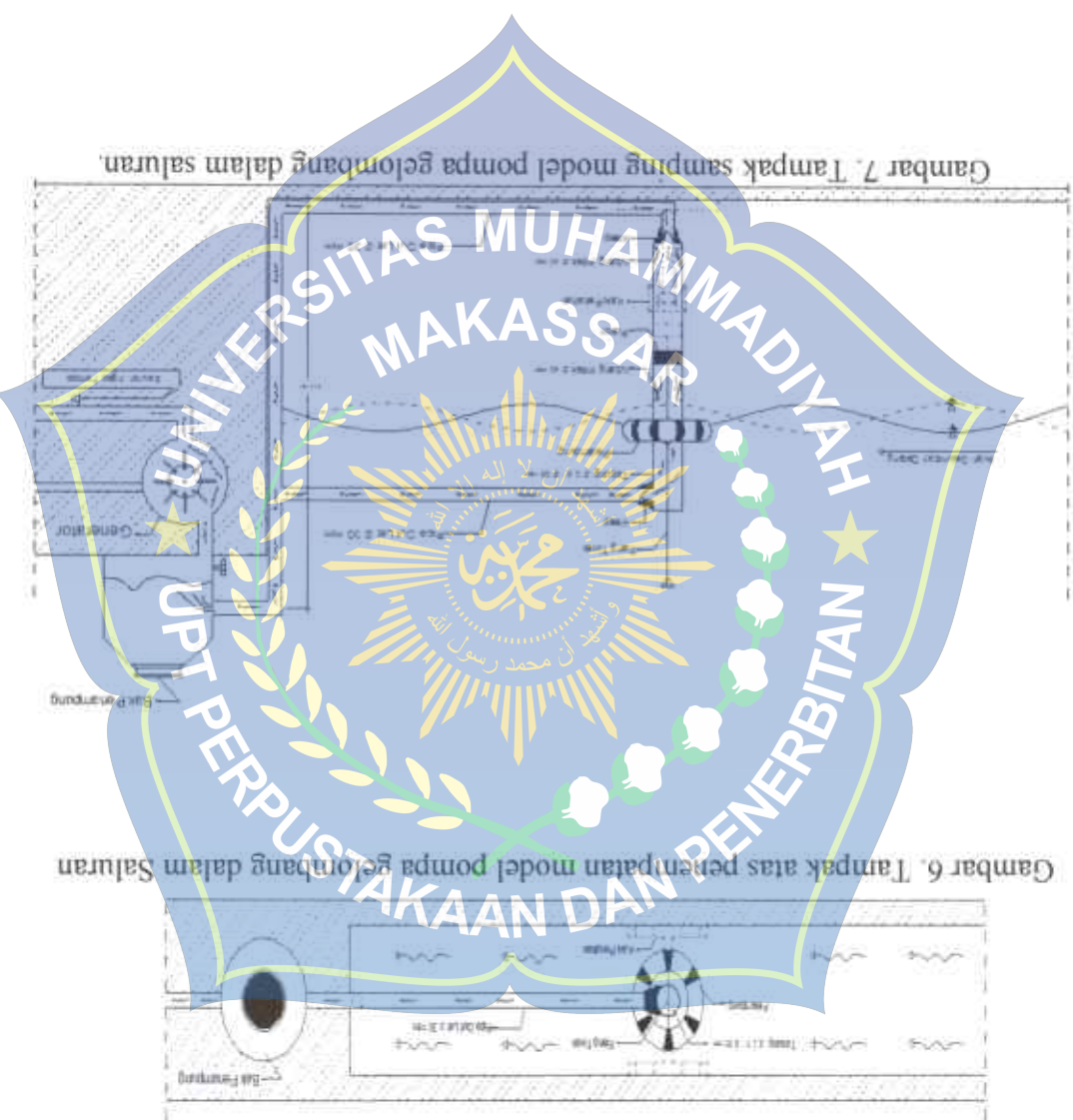


Table 3. Skala Model Table 2.

- Based on the construction of facilities in the laboratory, material which is available and the availability of equipment, makes the use of scale model 1 : 10, the value of the scale model



berfungsi sebagai dudukan tabung sehimanya tidak mudah bergeser di saluran pada saat air sudah mulai digerakkan

C berfungsi sebagai dudukan tabung sehimanya tidak mudah bergeser di saluran



Table 4. Various model pump geometries used for performance modeling



- Perisapan untuk running awal pada flume (tanpa model pompa gelombang).
- untuk mendapatkan data-data awal yaitu :
1. Dengan stroke/pembangkit gelombang 6, 7, dan 8, untuk mendapatkan Tinggi gelombang (H)
2. Periode (T) $1,3 = 13$ dtk, $1,4 = 14$ dtk, $1,5 = 15$ dtk, untuk mendapatkan Panjang Gelombang (L), setiap 10 kali putaran = 10 dtk.
3. Memulai simulasi gelombang tanpa model air pada panel kontrol, mendapatkan simulasi gelombang dengan menekan tombol *start* pada panel kontrol.
4. Menghitung simulasi tanpa model dengan menekan tombol *stop* pada panel flume telah sesuai variasi yang telah ditentukan dalam penelitian ini.
5. Melakukan model uji di tengah-tengah flume.
6. Mengisi air pada flume dengan variasi kedalaman air (d) mulai dari 25 cm, 27, cm dan 29 cm untuk setiap model.
7. Setelah semua komponen siap, simulasi gelombang dimulai dengan membangkitkan gelombang di dalam ruang flume seperti pada prosesur no. 2.

G. Pelaksanaan Simulasi

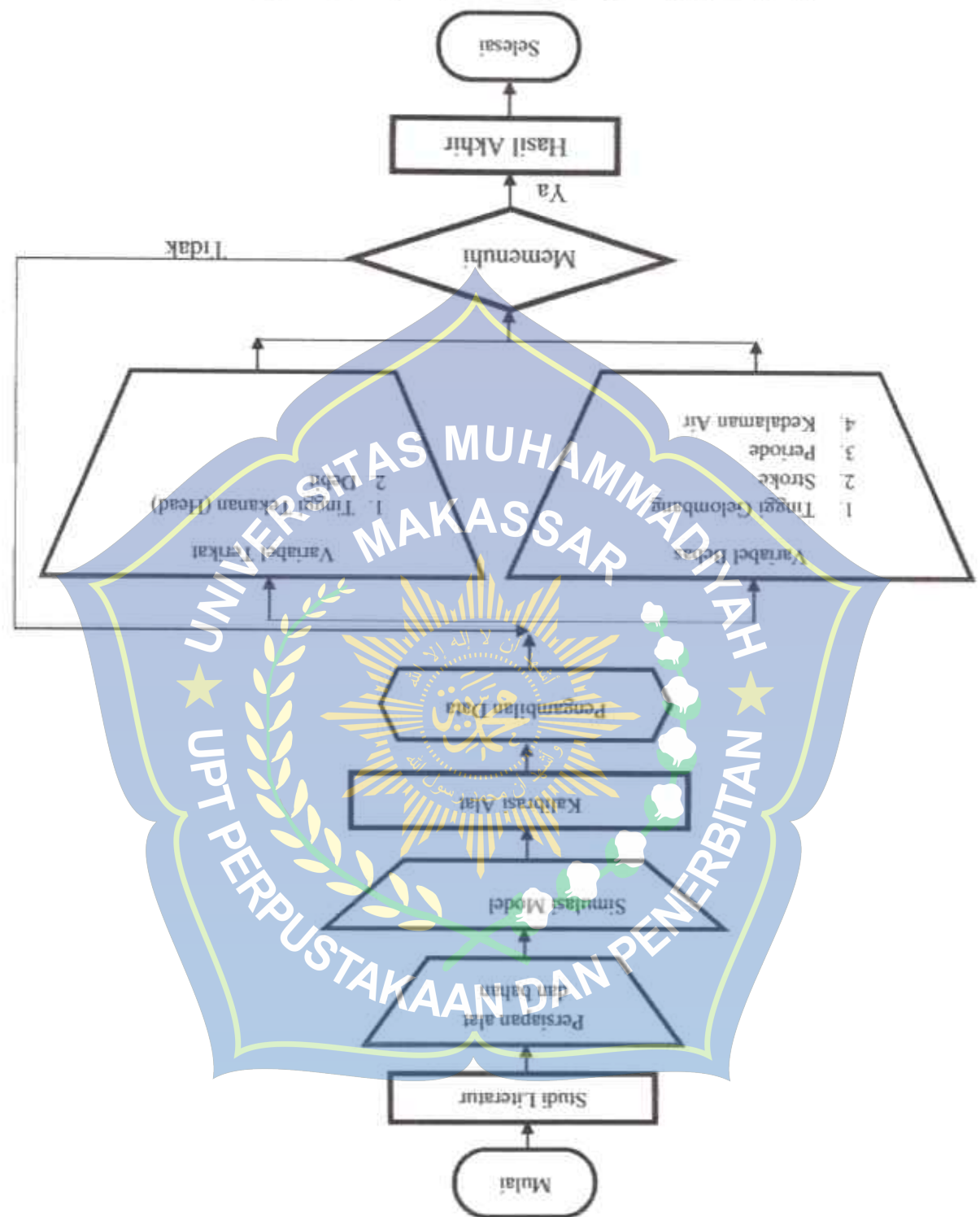


Diagram 9: Sketch of the wave generation mechanism for a pump.

1. Dengan stroke/pembangkit gelombang 6, 7, dan 8, untuk mendapatkan Tinggi gelombang (H)

8. Mengukur dan mencatat tinggi gelombang di depan dan di belakang model
9. Mengukur air yang keluar pada lubang outlet atas dan bawah dengan waktu
10. Mengukur setiap pengambilan air dan dilakukan sebanyak 3 kali untuk mendapatkan debit
10. Mengubah tinggi tekanan air (head) pada lubang outlet setinggi 5 cm dan keterpatannya sampai pada tinggi tekanan tidak lagi mengelebihi air.
11. Mengulangi proses 1 sampai 7 sesuai variasi tinggi dan periode gelombang untuk masi-masing jenis model seperti yang ditunjukkan pada Tabel 3 Dimensi model dan parameter gelombang diperoleh dengan mengganti posisi stroke & variation.
- H. Diagram Proses Penelitian
- Sesuai dengan tujuan penelitian dan mitik metodik yang telah
- dikemukakan pada bab sebelumnya adapun variabel yang diteliti adalah mendapatkan Tinggi Gelombang (H), Periode Gelombang (T), Panjang Gelombang (L), Tinggi tekanan (H) dan Debit pada outlet (Q).

Gambar 10 Flow Chart Prosedur Percobaan Penelitian



I. Flow Chart Prosedur Penelitian

bantuan dua probe di laboratorium dapat diketahui dengan menggunakan nilai besaran pada panjang gelombang. Untuk pengekuran dengan menggunakan mempermukaan dua titik puncak gelombang sebaliknya dapat diketahui dengan mempermekan dua titik puncak gelombang yang tercatat langsung di komputer gelombang dan menggunakan dua probe yang tersusun pada persamaan panjang metode, yaitu dengan metode perhitungan iterasi dan persamaan panjang Dalam penetuan nilai panjang gelombang kita dapat menggunakan dua

2. Panjang Gelombang (L)

Hasanuddin akan dipaparkan sebagai berikut.

telah dilakukan di Laboratorium Hidroika, Jurusan Teknik Sipil, Universitas detik, 1,4 detik dan 1,5 detik adapun hasil dari seluruh kegiatan penelitian yang kedalaman (d) masing-masing terdiri dari 3 variasi periode (T) yaitu periode 1,3 yaitu kedalaman 0,29 m kedalaman 0,27 m dan kedalaman 0,25 m. Setiap masinc-masinc probe. Kedalaman (d) yang digunakan ada 3 jenis kedalaman gelombang maksimum (H_{max}) dan tinggi gelombang minimum (H_{min}) dan pompa gelombang type pelampung dengan diameter pipa 0,02 m. Beberapa tinggi Hasil penelitian yang diperoleh dari pengamatan yang dilakukan dan alat laboratorium hidroika Universitas Hasanuddin, akan dipaparkan sebagai berikut.

Hasil penelitian dan seluruh kegiatan eksperimen yang telah dilakukan di A. Hasil Penelitian

1. Hasil Analisis

ANALISIS DAN PEMBAHASAN

BAB IV

gelombang secara langsung yang terdiri dari bukit dan salut lembah. Sedangkan untuk metode terasi kita menggunakan data periode yang diambil pada saat pra-penelitian. Dalam penelitian kali ini digunakan panjang gelombang yang dihitung dengan metode iterasi dengan tiga data periode, yakni periode (T) = 13 detik, 14 detik dan 15 detik. Salah satu contoh perhitungan panjang gelombang (L) pada kedalaman 29 cm periode 13 detik model pompa gelombang dengan diameter pipa 20 cm adalah sebagai berikut : Diketahui

$$L = 1,49 \text{ m}$$

$$\frac{d}{L} = \frac{0,29}{0,14961}$$

$$d/L = 0,14961 \quad (\text{Lihat di tabel lampiran 1, untuk nilai } d/L_0 = 0,1100 \text{ m/dtk})$$

$$d/L_0 = 0,29/2,636 = 0,1100 \text{ m/dtk}$$

$$L_0 = 2,636 \text{ m}$$

$$L_0 = 1,56 (T^2)$$

$$T = 1,3 \text{ detik}$$

$$d = 29 \text{ cm}$$



3. Data Tinggi Geombang (H)

Pengukuran tinggi gelombang diakukan di 2 titik, 1 titik didepan dan 1 titik dibelakang model. Jarak antara 2 titik pengukuran dicapai model ditentukan pada panjangan gelombang yakni pada satu node pada gelombang. Data utama

Table 3. Data hasil pengamatan untuk ketombeang pada pompa gelombang type pelampung diameter 0,02 m.

(5) pada bab 2. Salah satu perhitungan daya pemompaan outlet bawah untuk ketimpungan. Daya air hasil pemompaan dapat dihitung menggunakan persamaan berikut yang didapatkan dari hasil pemompaan berbeda-beda untuk setiap

5. Daya Air Hasil Pemompaan

data hasil perhitungan daya gelombang selanjutnya dapat dilihat pada tabel 6.



berdasarkan pada teori pada bab 2 persamaan 4 maka dapat dihitung sebagai
dalam evaluasi ditinjau parameter daya rata-rata untuk satu gelombang.
Karena energi gelombang yang ditangkap oleh alat tidak kontinu, maka

4. Daya Gelombang

model diameter (D) 0,02 m yang dapat dilihat pada tabel 6.

Berberapa data hasil perhitungan efisiensi pompa gelombang mengeunkan

$$= 0,0122$$

$$\frac{0,3 \times 0,0056 \times 2 \times \sqrt{9,81} \times 0,29 \times 9,81}{8 \times 0,34 \times 0,000013 \times 9,81}$$

$$\eta_f = \frac{1/8 \times \gamma \times B \times H_a^2 \times \nu \times g}{\nu \times Z \times Q \times g}$$

adalah sebagai berikut:

Sebagaimana yang telah di tulis sebelumnya maka besarnya efisiensi pompa gelombang dapat dihitung mengeunkan persamaan (6) pada bab 2. Pompa gelombang dengan daya yang didapatkan dan hasil pemompaan. Efisiensi pompa gelombang merupakan perbandingan antara daya yang bekerja pada

6. Efisiensi Pompa Gelombang
mengeunkan model diameter (D) 0,02 m yang dapat dilihat pada tabel 6.

Berikut berberapa data hasil perhitungan daya arah hasil pemompaan dengan

$$Q = \text{debit hasil pemompaan (m}^3/\text{detik})$$

$$Z = \text{tinggi output (m)}$$

$$\gamma = \text{berat jernih air (kg/m}^3)$$

$$DV = \text{daya hasil pemompaan (W/m/dtk)}$$

Dimana :

$$DV = 0,042 \text{ N m/dtk}$$

$$DV = \gamma \times Z \times Q \times g$$

ketinggian pemompaan 0,34 m, periode (T) 1,3 detik adalah sebagai berikut :

model pompa berdiameter (D) 0,02 m pada kedalaman (d) 0,29 m dengan

Daya pompa merupakan besarnya energi yang dikeluarakan pompa untuk memindahkan fluida dalam hal ini air. Berdasarkan teori pada bab 2, daya pompa dihitung menggunakan persamaan (19) Salah satu contoh perhitungan besarnya daya pompa pada model pompa dengan diameter (Q) 0,02 m untuk menarik air pada ketinggian 35 cm dengan periode (T) 1,3 detik adalah sebagai berikut :

$$Dp = \frac{Q \times H \times g}{\eta} = \frac{0,00013 \times 0,34 \times 1000 \times 9,81}{0,0122} = 349 \text{ N/m/dik}$$

Bentuk becakapada dasar hasil perhitungan daya pompa dengan menggunakan model diameter (Q) 0,02 m yang dapat dilihat pada tabel 6.

Kecapatan aliran air pada ketinggian 35 cm dengan menggunakan persamaan (21). Berdasarkan debit yang dihasilkan oleh model pompa berdiameter (Q) 0,02 m pada kedalaman (d) 0,29 m dengan periode (T) 1,3, stroke 8 dan tinggi pemompaan 0,35 m. Adapun rumus yang digunakan adalah sebagai berikut :

$$V = \frac{Q}{A} = \frac{0,000013}{0,00314} = 0,000041 \text{ m/dik}$$

Dimana :

$$Q = \text{debit } (\text{m}^3/\text{dik})$$

$$V = \text{kecepatan } (\text{m/dik})$$

$$V = 0,000041 \text{ m/dik}$$

$$V = Q/A$$

Kecapatan aliran yang keluar dari outlet bawah

- a. Tekanan Hidrostatis
- Zat cair dalam wadah selain tetanak ke bawah karena adanya gaya gravitasi. Adanya gaya tarik kebawah ini menyebabkan adanya tekanan zat cair pada dasar wadahnya. Tekanan zat cair yang hanya disebabkan oleh gaya beratnya sendiri disebut Tekanan Hidrostatis. Tekanan hidrostatis merupakan adanya gaya gravitasi. Tekanan hidrostatis akan meningkat semakin dekat dengan permukaan zat.
- berambahinya kedalam yang diukur dari permukaan zat cair.
- Tekanan hidrostatis pada tidak kedalaman berapakan tidak dipengaruhi oleh berat air luasan permukaan zat, alias perubahan bentuk beserta ukur. Perhitungan ini digunakan data model Ø 0,02 m, perbeda (t) 13, pada kettinggian outlet dan percepatan gravitasi g ditulang dengan persamaan 22 :
- $$P = \rho \times g \times H$$
- $P = 1000 \times 9,81 \times 0,1803$
- $P = 1768,743 \text{ Pa}$
- Dimana :
- $$P = \text{Tekanan (Pa)}$$

1. Untuk outlet bawah

0,35 m. Tekanan hidrostatis (P) zat cair dengan massa jenis pada kedalaman H digunakan data model Ø 0,02 m, perbeda (t) 13, pada kettinggian outlet berat air luasan permukaan zat, alias perubahan bentuk beserta ukur. Perhitungan ini berlaku untuk outlet bawah yang kedalamannya berapakan tidak dipengaruhi oleh berat air luasan permukaan zat, alias perubahan bentuk beserta ukur. Tekanan hidrostatis pada tidak kedalaman berapakan tidak dipengaruhi oleh beratambahinya kedalam yang diukur dari permukaan zat cair.

dan percepatan gravitasi g ditulang dengan persamaan 22 :

$$P = \rho \times g \times H$$

$P = 1000 \times 9,81 \times 0,1803$

$P = 1768,743 \text{ Pa}$

Dimana :

$$P = \text{Tekanan (Pa)}$$

Berikut beberapa data hasil perhitungan kecukupan siliran pada model diameter (\varnothing) 0,02 m yang dapat dilihat pada tabel 6.

$$A = \text{Luas penampang (m}^2\text{)}$$

Berikut beberapa data hasil perhitungan kecukupan siliran pada model

$$= 31242 \text{ Pa}$$

$$P = F/A = \frac{1.0 \times 9.81}{0.000314}$$

Sehingga :

$$A_{\text{tabung}} = \pi r^2 = 3.14 \times 0.01^2 = 0.000314 \text{ m}^2$$

$$F = m \times g = 1.0 \times 9.81 = 9.81 \text{ N}$$

$$M = 1.0 \text{ kg}$$

1. Untuk outlet bawah

cm. Berikut perhitungan tekanan yang disebabkan oleh gaya dihasilkan model Ø 0.02 m, penode (T) 1.3, stroke 8 pada ketenggian outlet 35 pada perhitungan kaitan kita akan menggunakan daya gelombang yang udara. Dan daya akibat gelombang berbeda-beda berdasarkan tinggi gelombang daya gelombang untuk outlet atas yang mana diketahui berat pompa 1 kg di mempengaruhi tekanan pompa yaitu berat pompa untuk outlet bawah dan juga dipengaruhi oleh gaya yang bekerja pada pompa. Adapun yang variabel yang Tekanan pada pompa tidak hanya disebabkan oleh tekanan hidrostatis tapi

b. Tekanan akibat gaya

$$P = 1473,756 \text{ Pa}$$

$$P = 1000 \times 9.81 \times 0.15$$

$$P = \rho \times g \times H$$

2. Untuk outlet atas

$$H = \text{ketenggian air (m)}$$

$$\rho = \text{massa jenis air (kg/m}^3)$$

2. Untuk outlet atas:

$$Dw = 2,188 \text{ N/m dik}$$

$$A_{\text{tabung}} = 0,000314 \text{ m}^2$$

$$F_w = \frac{Dw}{a} = \frac{\sqrt{(9,81 \times 0,29)}}{3,49} = 2,069 \text{ N}$$

Sehingga:
 $P = \frac{F_w}{A_{\text{piston}}} = \frac{2,069}{0,000314} = 6590,117 \text{ Pa}$

Untuk outlet bawah:
 $P_{\text{total}} = 1768,743 + 3124,7 = 4893,456 \text{ Pa}$

Untuk outlet atas:
 $P_{\text{total}} = 1473,756 + 6590,117 = 8063,874 \text{ Pa}$

Berikut beberapa data hasil perhitungan tekanan pompa dengan menggunakan model diameter (D) 0,02 m yang dapat dilihat pada tabel 6.



Tabel 6. Data analisis daya gelombang, daya air hasil pompa, dan efisiensi pompa dan daya pompa pada kedalaman 0,29 m

kedalaman	stroke	periode	(detik)	daya gelombang (N m/dtk)	daya air hasil pompa (N m/dtk)	daya pompa (N m/dtk)	kecepatan airan	tinggi tekanan atas	tinggi tekanan bawah
							(m/detik)	(Pa)	(Pa)
0,29	1	2	3	1,3	3,49	0,012	1,490	0,041	8063,874
			4	1,4	2,23	0,013	2,234	0,027	5691,137
			5	1,5	1,68	0,013	1,688	0,021	4641,307
			6	1,3	3,19	0,010	3,191	0,033	7497,562
0,27	0,27	8	7	1,4	2,38	0,010	2,276	0,023	5959,848
			8	1,5	1,62	0,012	1,619	0,019	4530,018
			9	1,3	1,62	0,021	1,618	0,022	4528,059
			10	1,4	4,44	0,019	1,440	0,020	4191,738
0,25			11	1,5	1,013	0,011	1,219	0,015	3773,245
			12						33009,310

dapat dilihat pada tabel 7.

10. Pengambalan Debit

Tabel 7. Data hasil pengambilan debit pada kedalaman 0,29 m, periode 1,3.

jenis model m	kedalaman m	periode geombang dkk	strok outlet	tinggi m	aktu rambat detik	debit air ml/dkk	ta rata det ml/dkk	debit air ml/dkk	ta rata det ml/dkk	total debit m ³ /dkk	total debit m ³ /dkk
1	0,29	1,30	8,00	0,34	90,20	89,97	37,20	36,67	126,63	0,0000113	
				0,39	88,60	38,70					
				0,44	91,10	34,10					
				0,49	66,47	24,30					
				0,54	70,40	25,70					
				0,59	64,80	25,50					
				0,64	52,30	0,60	20,00	20,53	72,33	0,0000007	
				0,69	50,00	21,60					
				0,74	53,10	20,00					
				0,79	35,10	36,15	12,70	12,87	49,00	0,000005	
				0,84	33,70	13,50					
				0,89	39,60	12,40					
				0,94	25,40	25,63	7,80	7,73	33,37	0,000003	
				0,99	25,20	8,00					
				1,04	26,30	7,40					
				1,09	19,40	18,70	3,80	3,60	22,30	0,000002	
				1,14	18,10	3,50					
				1,19	18,00	3,50					
				1,24	14,10	13,53	0,00	0,00	13,63	0,000001	
				1,29	14,00	0,00					
				1,34	12,50	0,00					
				1,39	8,73	0,00					
				1,44	8,80	0,00					
				1,49	8,20	0,00					
				1,54	3,40	3,27	0,00	0,00	3,27	0,0000001	
				1,59	3,90	0,00					
				1,64	2,50	0,00					

Sambungan Tabel 7. Data hasil pengambilan debit pada kedalaman 0,29 m, periode 1,3

Hasil pengamatan dan kerja alat pompa gelombang tipe pelampung dengan yakni ketika alat pompa gelombang dengannya variasi kedalaman 0,29 m, 0,27 m dan 0,25 m pada periode 1,3, 1,4, dan 1,5. Pembahasan untuk hasil dari penelitian ini ditampilkan dalam bentuk grafik hubungan yang akan dijelaskan sebagai berikut

a. Pengaruh Tingkat Gelombang Terhadap Debit Pada Pompa Gelombang

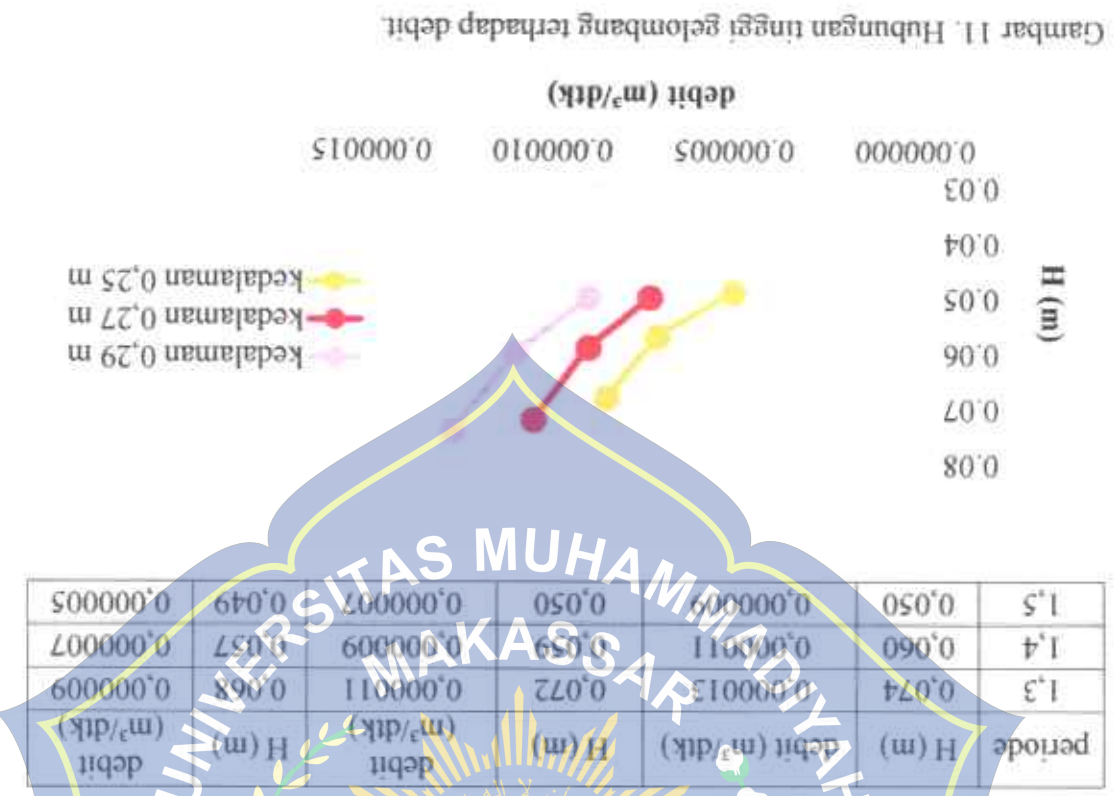


Table 8. Data pengaruh tingkat gelombang terhadap debit yang dihasilkan pada kedalaman 0,29 m, 0,27 m, 0,25 m.

b. Pembahasan

a. Pengaruh Tingkat Gelombang Terhadap Debit Pada Pompa Gelombang

Tabel 8. Data pengaruh tingkat gelombang terhadap debit yang dihasilkan pada kedalaman 0,29 m, 0,27 m, 0,25 m.

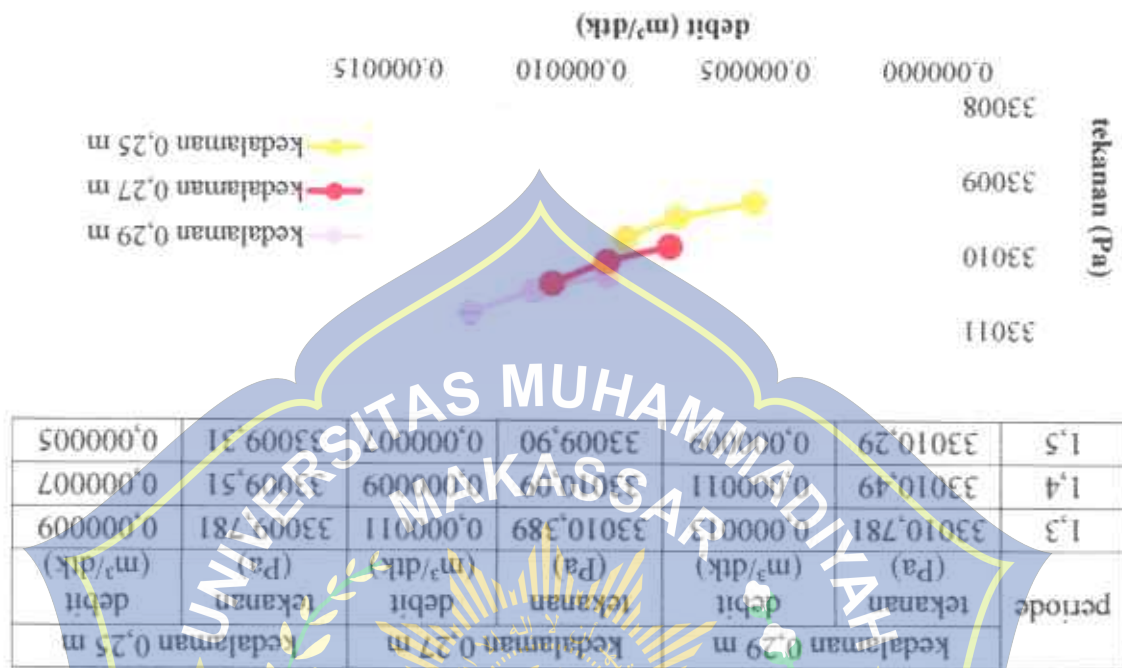
Hasil pengamatan dan kerja alat pompa gelombang tipe pelampung dengan diameter pipa 0,02 m terdapat beberapa faktor kedalaman dan periode yang berbeda yakni ketika alat pompa gelombang dengannya variasi kedalaman 0,29 m, 0,27 m dan 0,25 m pada periode 1,3, 1,4, dan 1,5. Pembahasan untuk hasil dari penelitian ini ditampilkan dalam bentuk grafik hubungan yang akan dijelaskan sebagai berikut

dari penelitian ini ditampilkan dalam bentuk grafik hubungan yang akan dijelaskan sebagaimana berikut

Tipe Pelampung

dihasilkan pada piston maka semakin banua y pulia debit yang dihasilkan berdasarkan gambar 12 menunjukan bahwa semakin tinggi tekanan yang berdasarkan gambar 12 menunjukan bahwa semakin tinggi tekanan yang

Gambar 12 Pengaruh tekanan terhadap terhadap debit pada pompa gelombang tipe pelampung.



Tabel 9. Pengaruh Tekanan Terhadap Debit pada pompa gelombang tipe pelampung

b. Pengaruh Tekanan Terhadap Debit Pada Pompa Gelombang Tipe pelampung
dengan tinggi gelombang sebesar 0,074 m menghasilkan jumlah debit 0,000013
bahwa jumlah debit tertinggi yang dihasilkan berasa pada pompa gelombang tertinggi
pelampung dengan tabung pipa berdiameter 0,02 m. Pada gambar 11 menunjukan
semakin besar pulia jumlah debit yang dihasilkan pada alat pompa gelombang tipe
berdasarkan gambar 11 menunjukan bahwa semakin tinggi gelombang maka

dihasilkan. Terlihat pada gambar 13 bahwa perbandingan antara kedalaman semakin rendah tinggi gelombang maka semakin kecil pula tekanan yang semakin tinggi pula tekanan yang dihasilkan pada piston, begitupun sebaliknya berdasarkan gambar 13 menunjukan bahwa semakin tinggi gelombang maka

Gambar 13. Pengaruh tinggi gelombang dan tekanan terhadap pada pompa gelombang tipe pelampung

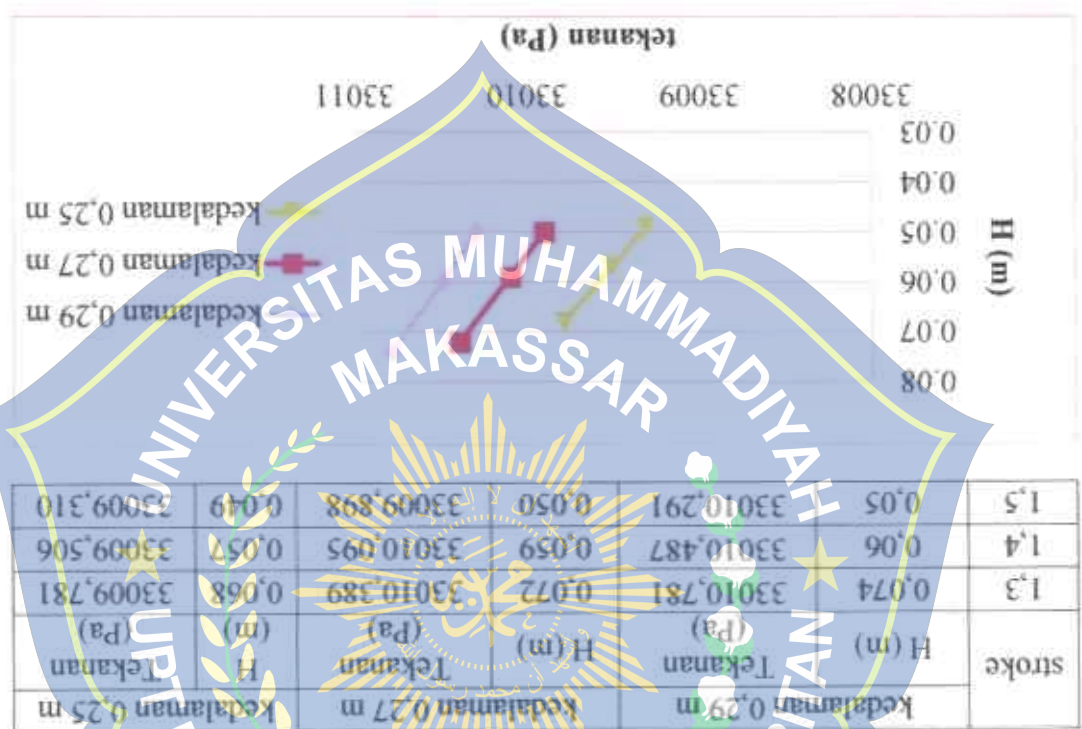


Table 10. Data pengaruh tinggi gelombang dan tekanan pada kedalaman 0,29 m, 0,27 m, 0,25 m

c. Pengaruh Tinggi Gelombang Terhadap Tekanan

Kedalaman 0,29 m dan menghasilkan debit sebesar $0,000013 \text{ m}^3/\text{dtk}$.
0,29 m, 0,27 m, dan 0,25 m menunjukan bahwa tekanan tertinggi berada pada dihasilkan. Terlihat pada gambar 12 bahwa perbandingan antara kedalaman begitupun sebaliknya semakin tinggi tekanan maka semakin kecil pula debit yang



tinggi tekanan sebesar 33010,781 Pa.

kedalaman 0,29 m dengan tinggi gelombang sebesar 0,074 m dan menghasilkan
0,29 m, 0,27 m, dan 0,25 m menujukam bahwa tekanan tertinggi berada pada

yang maximal.

2. variasi pompa gelombang ditambahkan untuk mendapat perbandingan debit akurat

1. alat pembaatan tinggi gelombang (probe) dipertahankan dan diperteksa dengan sebaiknya sehingga hasil pembaatan tinggi gelombang dapat lebih akurat

berikut:

- Penulis menyatakan penelitian ini masih jauh dari sempurna oleh karena itu penulis sadar dalam penelitian ini masih jauh dari sempurna oleh karena itu

B. Saran

2. Besar debit yang dihasilkan oleh pompa gelombang type pedampung dimeter 0,02 m satu 0,00013 m³/detik

1. yang menghasilkan tekanan sebesar 33010,781 Pa

gelombang berarti pada kedalaman 0,29 m dengan tinggi gelombang 0,074 m

pompaun semakin besar tekanan tersebut yang dihasilkan oleh pompa

dimana semakin tinggi sebutuh gelombang maka ketahanan yang bekerja pada

Tinggi gelombang dan tekanan cukup berpengaruh pada pompa gelombang

Berdasarkan hasil penelitian ini dapat disimpulkan bahwa:

A. Kesimpulan

KESIMPULAN DAN SARAN

BAB V

DRAFTAR PUSTAKA

- Abdullah Al Mafazur Rhman, Md. Moniruzzaman, M. Al Mamun, 2017, Estimasi Potensi Energi Pori Absorber Konverter Energi Gelombang Type Pelampung.
- Almarif Fahrey Nith, dan Wiwick Hendrowati, 2016, Studi Eksperimental Energi Listrik yang Diklasikan oleh Metamaterial Efek Wave Energy Harvester Type Pelampung Bola dengan Metode Cavitasi Pelozelctic (jurnal Teknik ITS), Institut Teknologi Sepuluh Nopember (ITS).
- Budi Harryanto, Radiaer Fitramadi, Nizam, Optimalisasi Pompas Air Listrik Gelombang Dan Aridyantri, Sondini, Amisa Adisantika, 2016, Pengembangan Pelampung Kontrol Turbulen Banting Dr. Ir. Suprapto, MEng, 2014, Teknologi konverensi energi gelombang laut Dr. Ir. Suprapto, MEng, 2014, Teknologi konverensi energi gelombang laut Dengan pompa terhadap gelombang Dan himer magnetik Pulsilisasi Number Daya Air
- Dwi Prasetyo Utomo, Muhammad Agus Sabrina, Nova Risdyanti Ismail, 2014, Sebagian Pemahaman Pelampung Listrik (jurnal Penergy Perbedaan Diameter Pelampung terhadap Efisiensi Ondern Wave Energy Universitas Samkerta, Juvenitus W.R. Ginting, Sugatra, Pengembangan Energi Gelombang Laut Dengan Pompa Gelombang Flap Torsional", Balai Jamrud Aminuddin, R. Farzand Abdullafl, dan Wihamto, 2015, persamaan Energi Listrik Perhitungan Dan Pemelahan Area Yang Berpotensi Untuk Pengembangan Pembangkit Listrik Tenaga Gelombang Laut (jurnal), Universitas Jendral Soedirman Purwati Bamu Asri, Rouda Simargaya - Balai (jurnal Teknik Hidraulik).
- Juvetus W. Ginting, dan I Ketut D. S. 2018, Kinerja Prototipe Papan Osilasi Padu Pompa Flap Tenaga Gelombang Timuk Pemanfaatan Masa Air Di Rais Yudamto, Eko Sasmoro Hadi, Kiryanto 2016, Desai konverter gelombang bentuk labu sebagaimana sumber pembangkit listrik diperauan lau jawa.



Teguh Dwiyono, 2006. Pengaruh Variasi Besar, Tingga Ciaya Tekan, Dan Untuk Mekanika Elektasi Muka Air.
Kemirangan Pipa Ouput Terhadap Head pada Alat Peraga Hukum Pasca
Tu Alfansuri, dan Effita Afra Zulhair, 2014. Kajian Potensi Tenaga Geotrombaung
Laut Sebagai Pemanfaat Tenaga Listrik Di Perairan Malang Selatan
(jurnal), Institut Teknologi Adhi Tamra Surabaya.
Triamidjo, B. 1999. Teknik Pariisi Beta Offset Yogyakarta



Proses Pembuatan alat

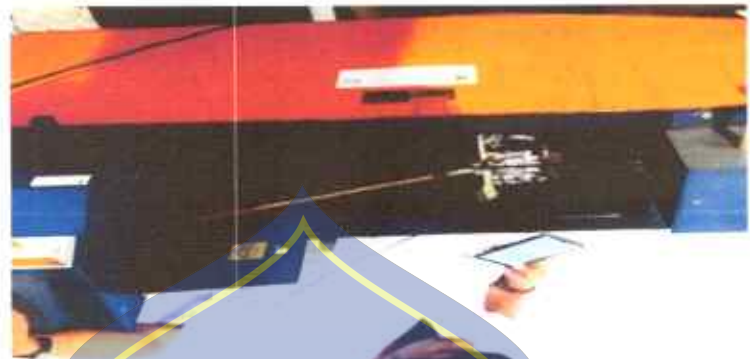


UNIVERSITAS MUHAMMADIYAH
MAKASSAR
★ UPT PERPUSTAKAAN DAN PENERBITAN ★
HAWAII

DOKUMENTASI

LAMPIRAN

Pengaturan periode dan stroke







Proses pengambilan data debit







Proses perekaman data tinggi gelombang meningkatkan aplikasi Tag View



Pengamatan tinggi pergerakan piston







Data kalibrasi Probe (Kedalaman d = 29 cm)

LAMPIRAN

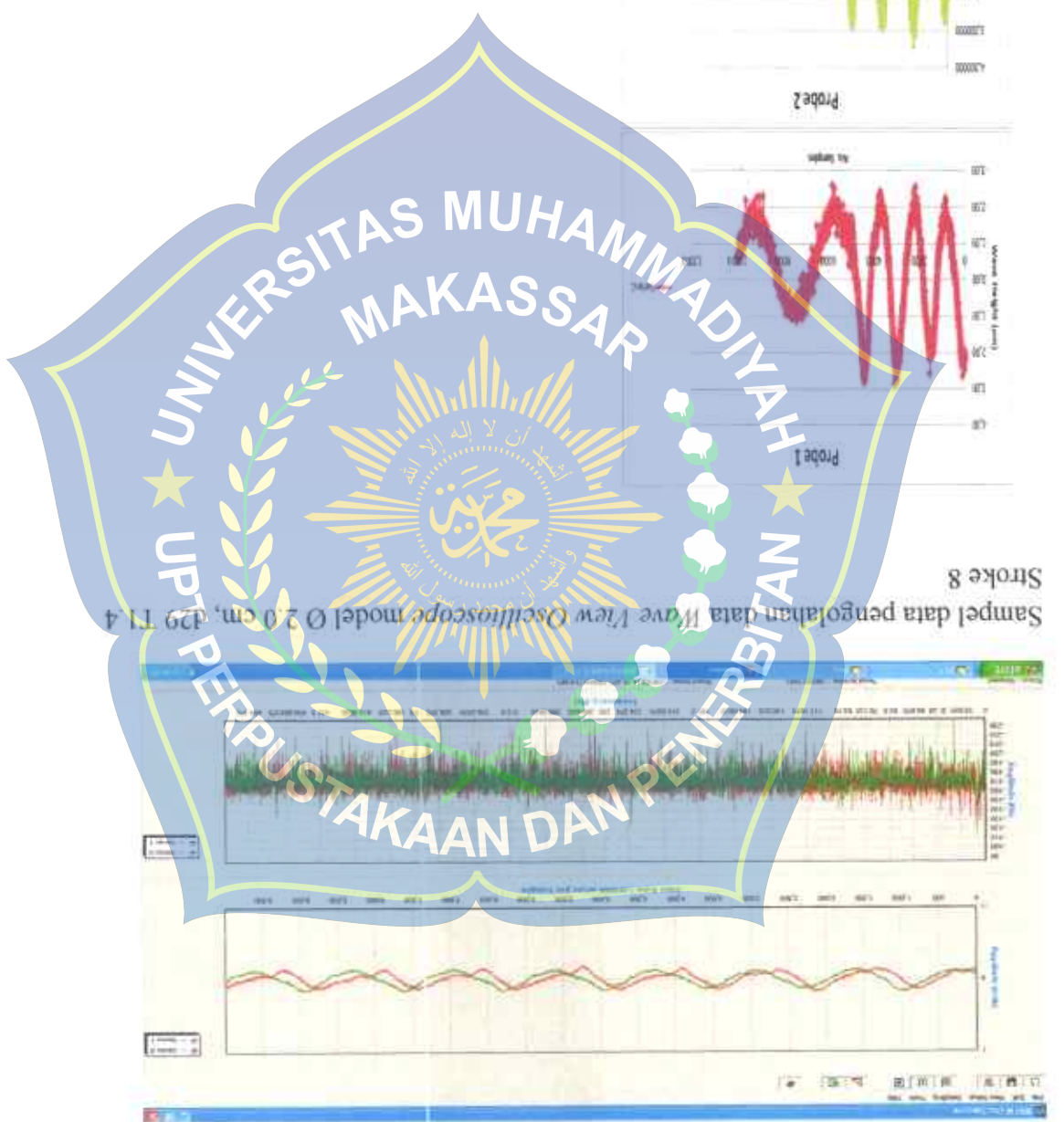


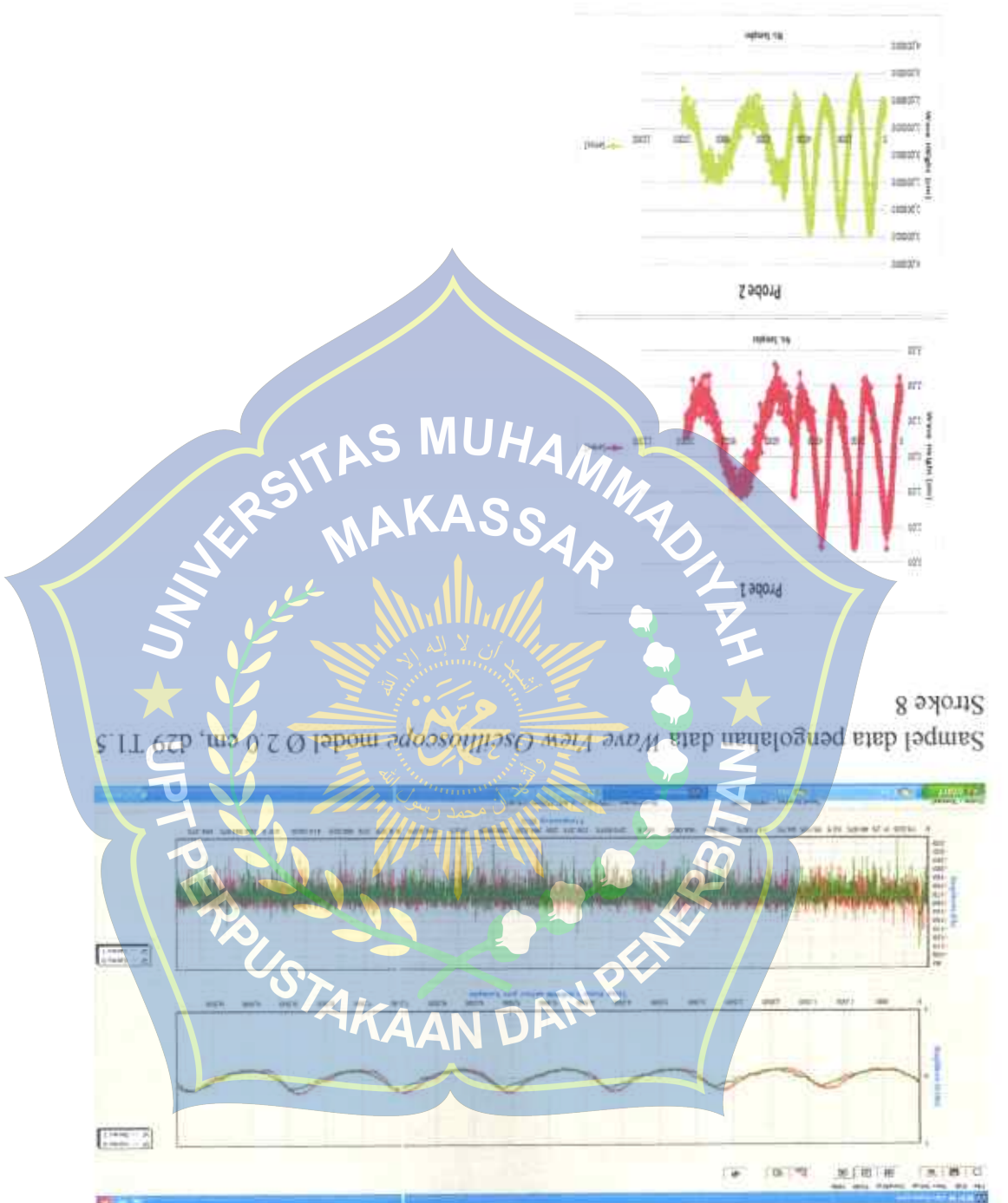
Stroke 8

Sampel data pengolahan data Wave View Oscilloscope model Ø 2.0 cm, d29 TI 3

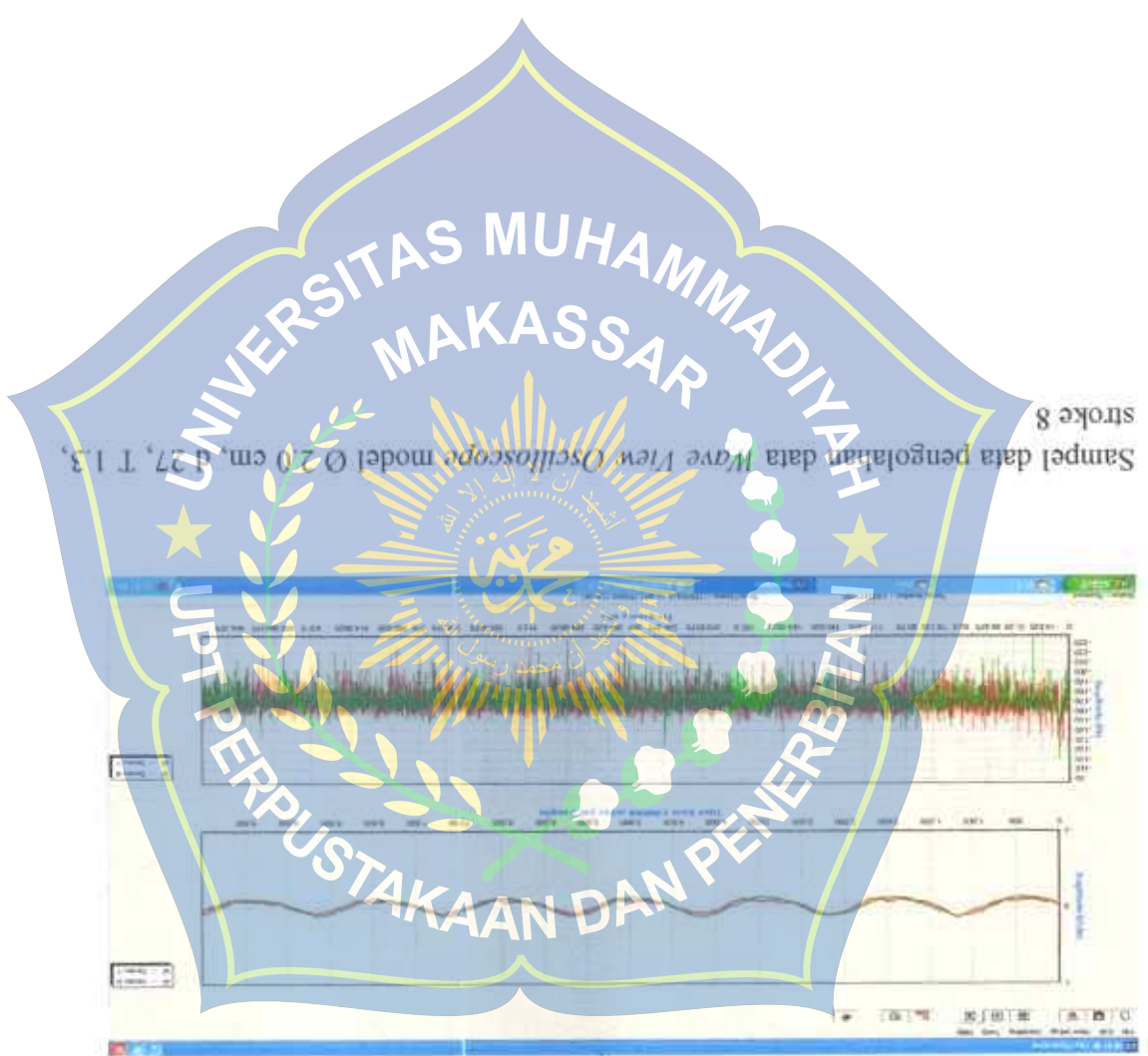
TI 3 Stroke 8.

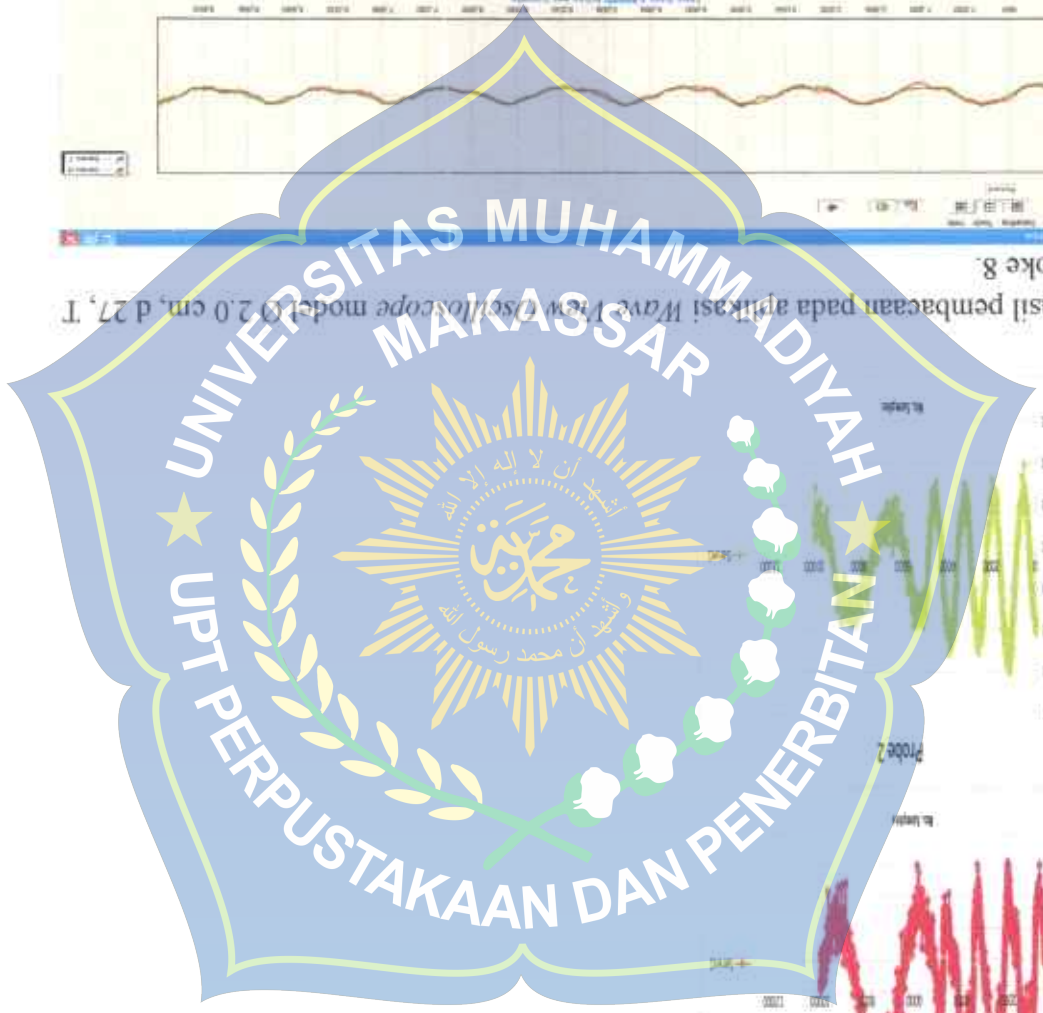
Data hasil pembaruan pada aplikasi Wave View Oscilloscope model Ø 2.0 cm, d29,



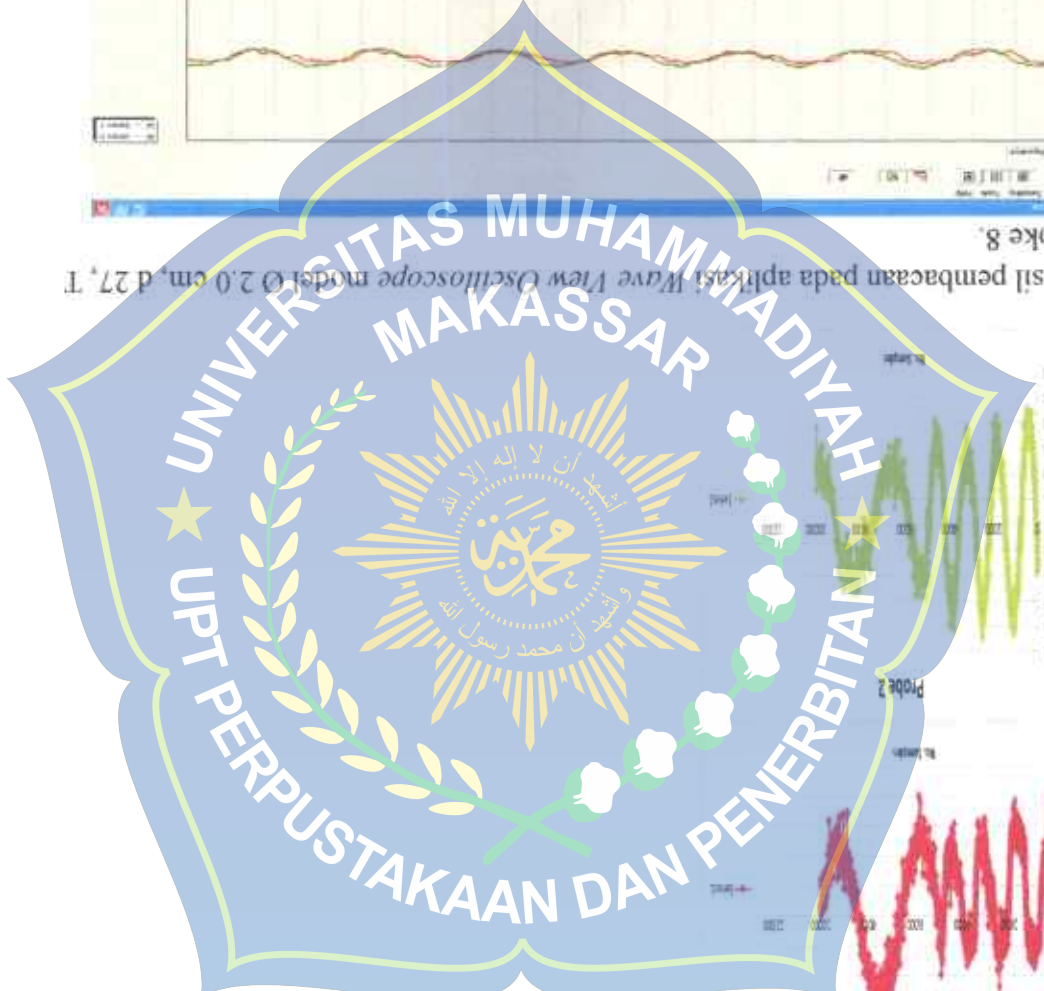


Data hasil pembacan pada aplikasi Wave View Oscilloscope model Q 2.0 cm, d29,



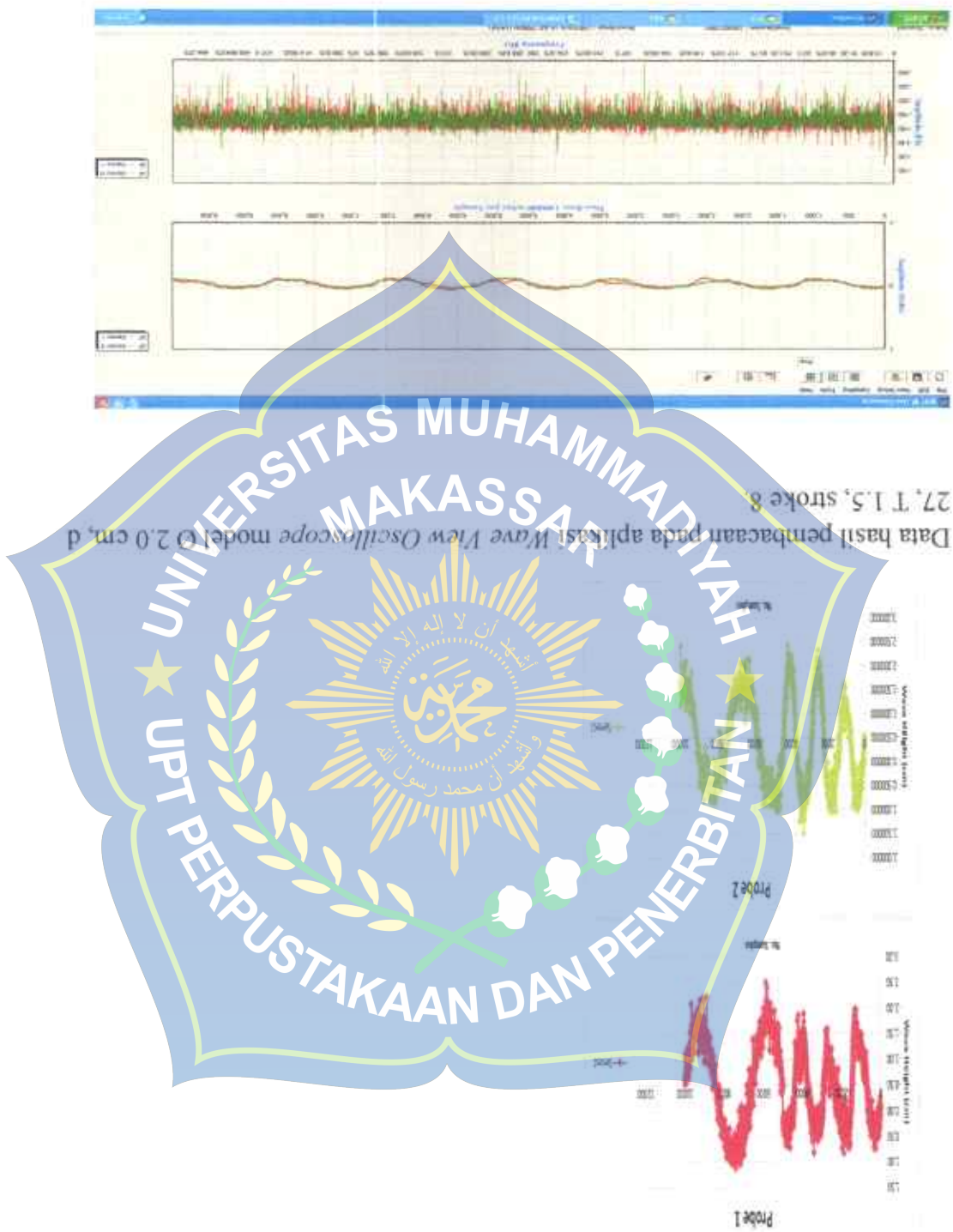


I.3, stroke 8
Data hasil pembacaan pada aplikasi Wave Viewer seismoscope model Q2.0 cm, d 27, T

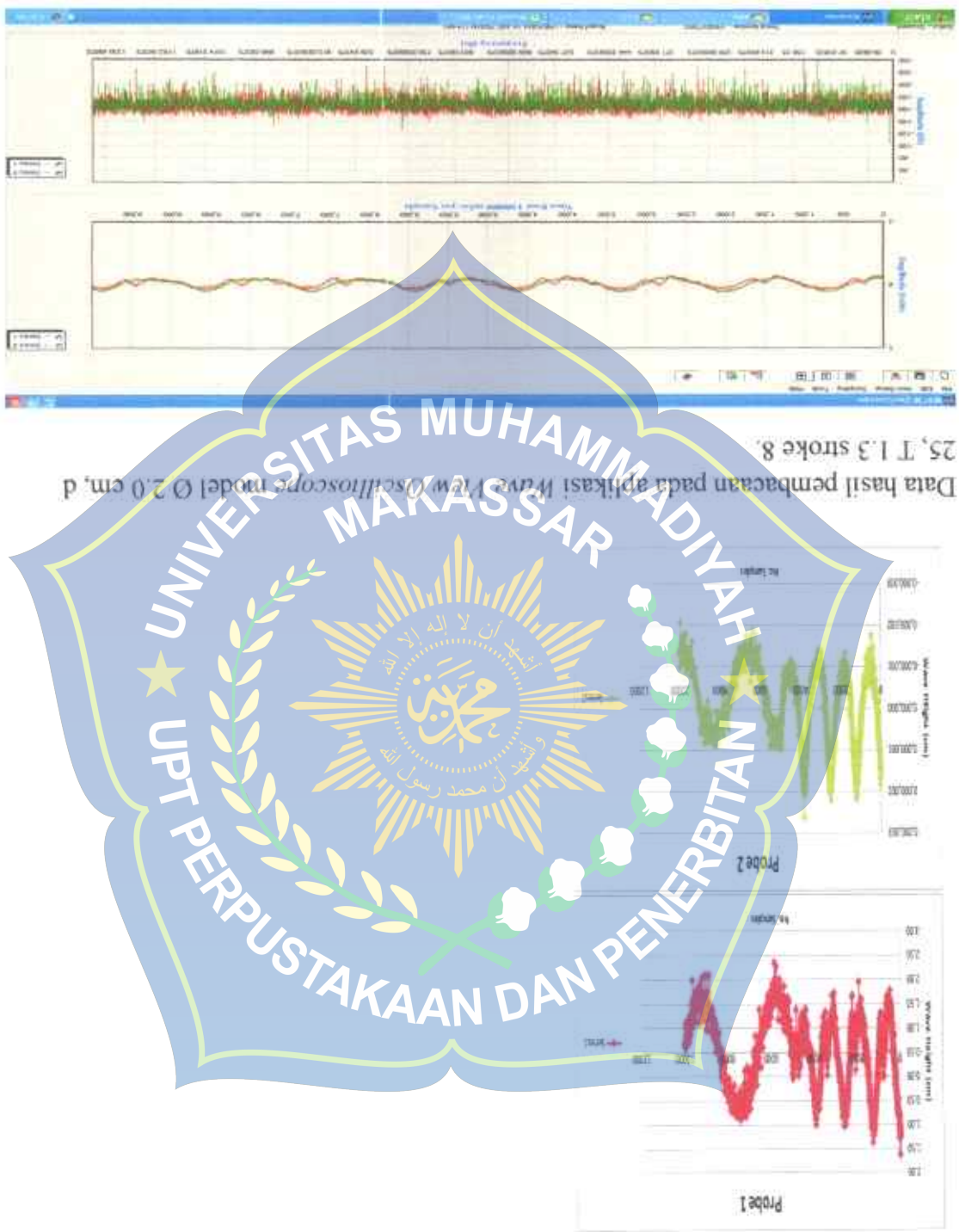


Sampele data pengolahan data Wave View Oscilloscope model O 2.0 cm, d 27, T 14,

Data hasil pembeaan pada aplikasi Wave View Oscilloscope model O 2.0 cm, d 27, T 14, stroke 8.



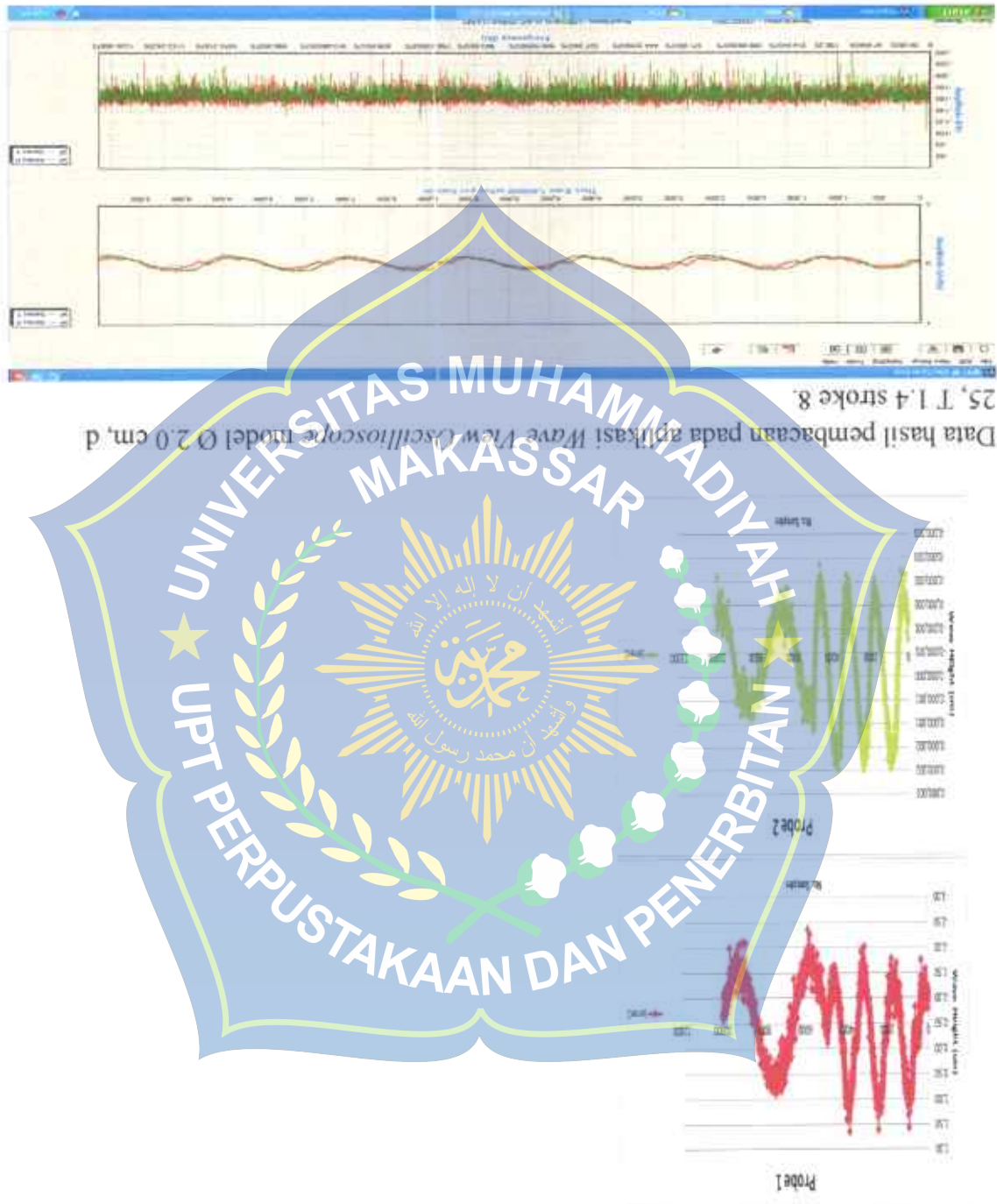
Sampel data pengolahan data Wave View Oscilloscope model Ø 2.0 cm, d 27, T 1.5, stroke 8



Sampel data pengolahan data Wave View Oscilloscope model Q 2.0 cm, d 25, T 1.3 stroke 8

1.5 stroke 8

Sampel data pengolahan data Wave View Oscilloscope model Q 2.0 cm, d 25, T



1.4 stroke 8

Sampel data pengolahan data Wave View Oscilloscope model Q 2.0 cm, d 25, T

